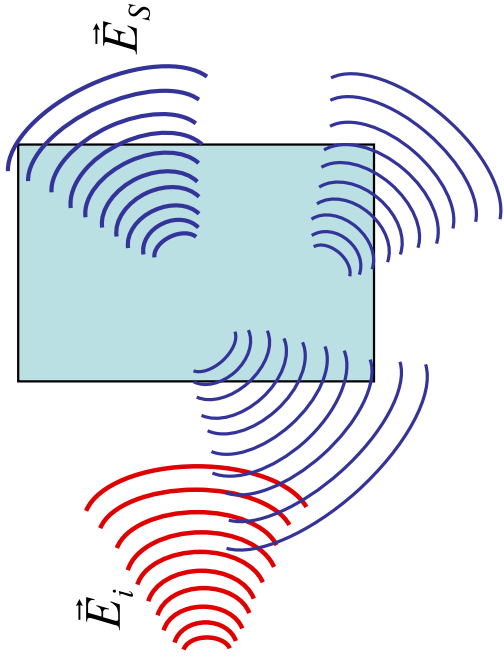


8. Réflexion, transmission et diffraction



En tout point, à l'intérieur comme à l'extérieur du matériau:

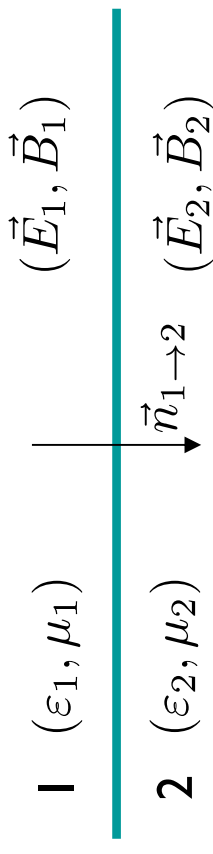
$$\vec{E}(\vec{r}, t) = \vec{E}_i(\vec{r}, t) + \vec{E}_s(\vec{r}, t)$$

Champ « incident »
ou « appliqué »

Champ dû aux charges internes
(« scattered field »)

Ces champs doivent être sommés **dans le vide** (y compris dans le matériau)

Soit une interface séparant deux milieux:



Les champs sont des fonctions de l'espace et du temps: $\vec{E} = \vec{E}(x, y, z, t)$
 $\vec{B} = \vec{B}(x, y, z, t)$

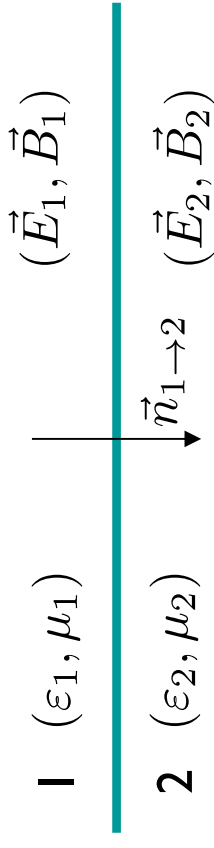
Comme toute fonction ils peuvent être continus ou discontinus en un point

Conditions de saut des champs:

$$\begin{aligned} \vec{n}_{1 \rightarrow 2} \times (\vec{E}_2 - \vec{E}_1) &= 0 \\ \vec{n}_{1 \rightarrow 2} \cdot (\vec{B}_2 - \vec{B}_1) &= 0 \end{aligned} \quad \rightarrow \quad \begin{aligned} &\text{Composantes continues des champs:} \\ &\text{Composante tangentielle de } \vec{E} \\ &\text{Composante normale de } \vec{B} \end{aligned}$$

$$\begin{aligned} \vec{n}_{1 \rightarrow 2} \cdot (\varepsilon_2 \vec{E}_2 - \varepsilon_1 \vec{E}_1) &= \rho_S & \longrightarrow & \text{Densité superficielle de charges libres} \\ \vec{n}_{1 \rightarrow 2} \times \left(\frac{\vec{B}_2}{\mu_2} - \frac{\vec{B}_1}{\mu_1} \right) &= \vec{J}_S & \longrightarrow & \text{Densité superficielle de courant} \\ & & & \text{(de charges libres)} \end{aligned}$$

Soit une interface séparant deux milieux:



On ne considère pas les matériaux magnétiques

$$\vec{n}_{1 \rightarrow 2} \times (\vec{E}_2 - \vec{E}_1) = 0$$

$$\vec{n}_{1 \rightarrow 2} \cdot (\varepsilon_2 \vec{E}_2 - \varepsilon_1 \vec{E}_1) = \rho_S$$

$$\vec{n}_{1 \rightarrow 2} \cdot (\vec{B}_2 - \vec{B}_1) = 0$$

$$\vec{n}_{1 \rightarrow 2} \times (\vec{B}_2 - \vec{B}_1) = \mu_0 \vec{J}_S$$

Cas 1 : interface entre deux diélectriques: $\rho_S = 0$ $\vec{J}_S = 0$

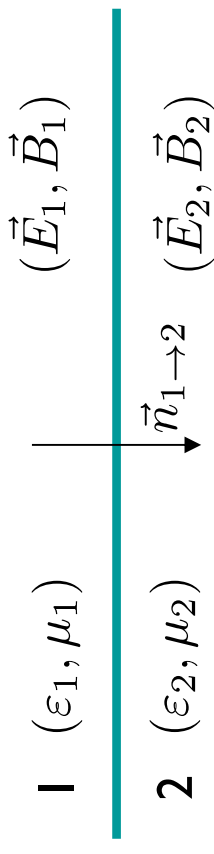
$$\vec{n}_{1 \rightarrow 2} \times (\vec{E}_2 - \vec{E}_1) = 0$$

$$\vec{n}_{1 \rightarrow 2} \cdot (\varepsilon_2 \vec{E}_2 - \varepsilon_1 \vec{E}_1) = 0$$

$$\vec{n}_{1 \rightarrow 2} \cdot (\vec{B}_2 - \vec{B}_1) = 0$$

$$\vec{n}_{1 \rightarrow 2} \times (\vec{B}_2 - \vec{B}_1) = 0$$

Soit une interface séparant deux milieux:



Cas 2: surface conductrice: $\rho_S \neq 0$ $\vec{J}_S = 0$ (cf profondeur de peau > 0)

Cas 3: surface **parfaitement conductrice**: $\sigma \rightarrow \infty$ $\rho_S \neq 0$ $\vec{J}_S \neq 0$

Dans le conducteur parfait:

$$\vec{E} = \vec{B} = 0$$

Supposons le milieu 2 parfaitement conducteur:

$$\vec{n}_{1 \rightarrow 2} \times (\cancel{\vec{E}_2} - \vec{E}_1) = 0 \quad \Rightarrow \quad \vec{n}_{1 \rightarrow 2} \times \vec{E}_1 = 0$$

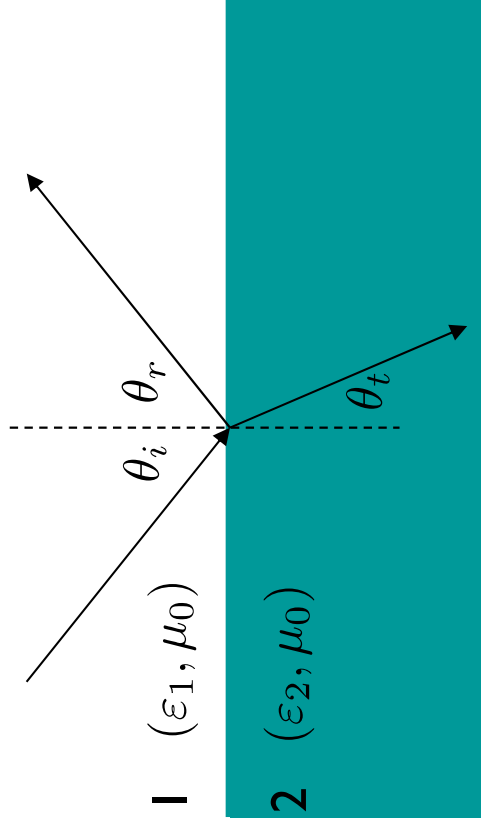
\Rightarrow La composante tangentielle du champ électrique est nulle sur la surface

\Rightarrow Sur un conducteur parfait il peut exister un courant superficiel en l'absence de champ électrique tangent à la surface !



$$\beta = \omega \sqrt{\mu_0 \varepsilon}$$

Soit une interface séparant deux diélectriques sans pertes:



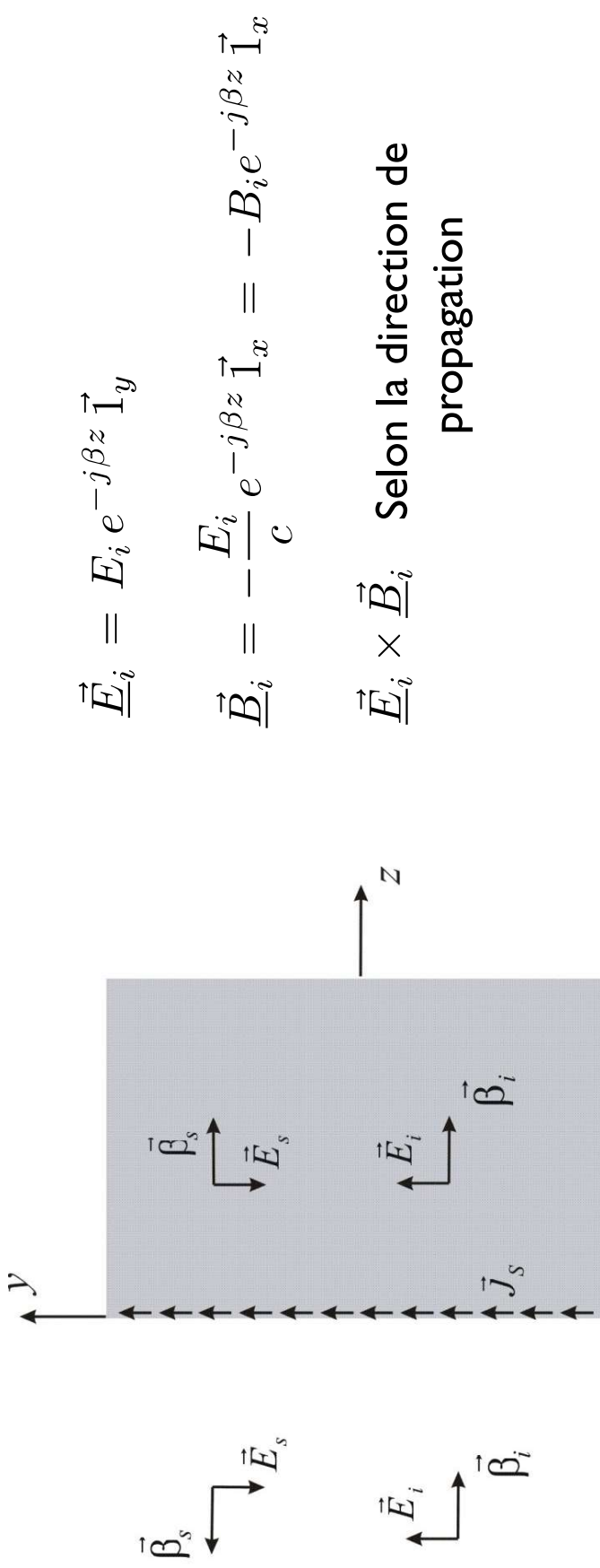
Lois de Snell:

$$\theta_i = \theta_r$$

$$\sqrt{\varepsilon_1} \sin \theta_i = \sqrt{\varepsilon_2} \sin \theta_t \quad \Rightarrow \quad \beta_1 \sin \theta_i = \beta_2 \sin \theta_t$$

Réflexion et transmission

Incidence normale sur un conducteur parfait



$$\underline{\vec{E}}_i = E_i e^{-j\beta z} \vec{1}_y$$

$$\underline{\vec{B}}_i = -\frac{E_i}{c} e^{-j\beta z} \vec{1}_x = -B_i e^{-j\beta z} \vec{1}_x$$

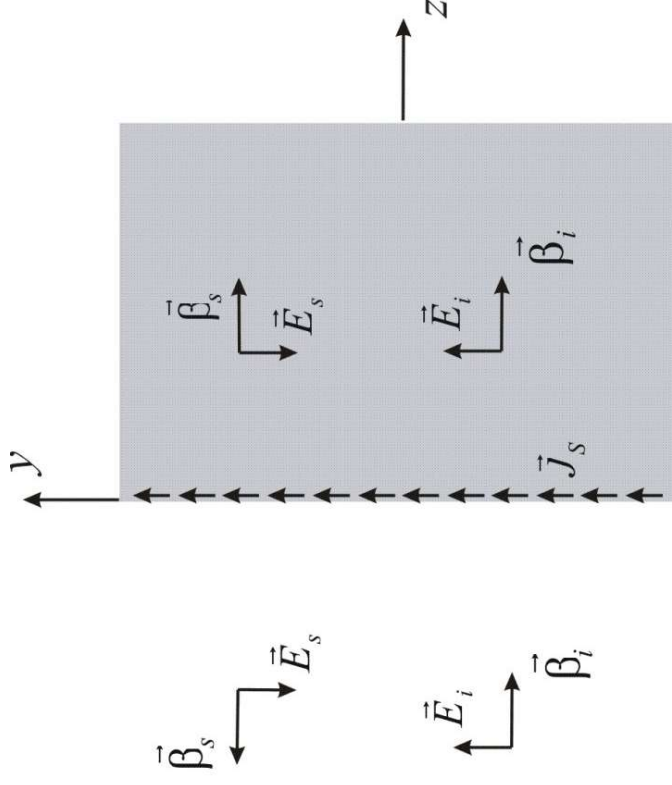
$\underline{\vec{E}}_i \times \underline{\vec{B}}_i$ Selon la direction de propagation

Soit une onde plane incidente de champs $\left(\underline{\vec{E}}_i, \underline{\vec{B}}_i \right)$

Cette onde induit un courant superficiel de densité $\underline{J}_s \vec{1}_y$

➡ Champs rayonnés par ce courant: $\left(\underline{\vec{E}}_s, \underline{\vec{B}}_s \right)$

A gauche du matériau, ces champs forment l'onde réfléchie



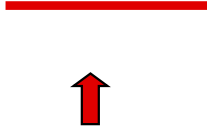
Cherchons la densité de courant superficiel induite

En tout point du matériau: $\vec{E} = \vec{E}_i + \vec{E}_s = 0$

$$\begin{aligned} \vec{E}_s &= -\frac{1}{2} c \mu_0 J_s e^{-j\beta z} \vec{1}_y & z > 0 \\ &= -\frac{1}{2} c \mu_0 J_s e^{j\beta z} \vec{1}_y & z < 0 \end{aligned}$$

En tout point du matériau: $\vec{E} = \vec{E}_i + \vec{E}_s = 0$

$$\begin{aligned}\vec{E}_i &= E_i e^{-j\beta z} \vec{1}_y \\ \vec{E}_s &= -\frac{1}{2} c \mu_0 J_S e^{-j\beta z} \vec{1}_y\end{aligned}$$



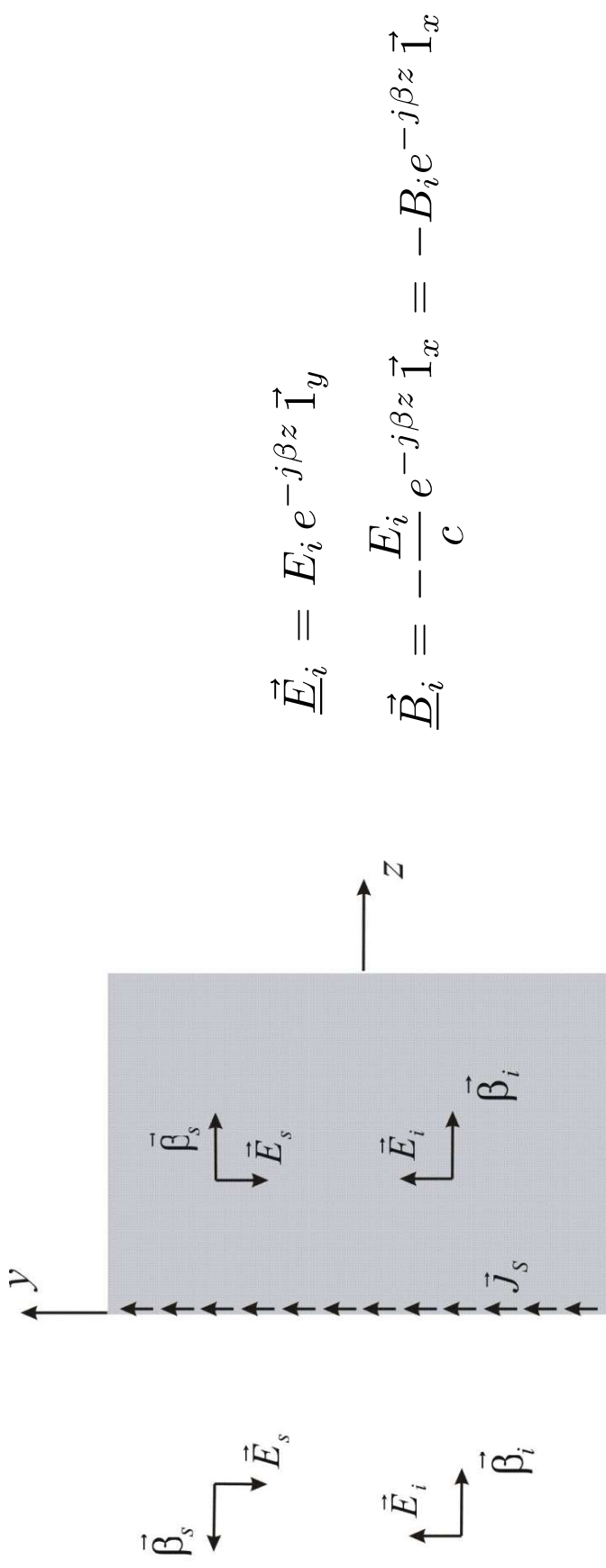
$$J_S = \frac{2E_i}{c\mu_0} = \frac{2E_i}{Z_0}$$

Ondes émises par une nappe de courant uniforme:

$$\begin{aligned}\vec{E}_s &= -\frac{1}{2} c \mu_0 J_S e^{-j\beta z} \vec{1}_y & z > 0 \\ &= -\frac{1}{2} c \mu_0 J_S e^{j\beta z} \vec{1}_y & z < 0\end{aligned}$$

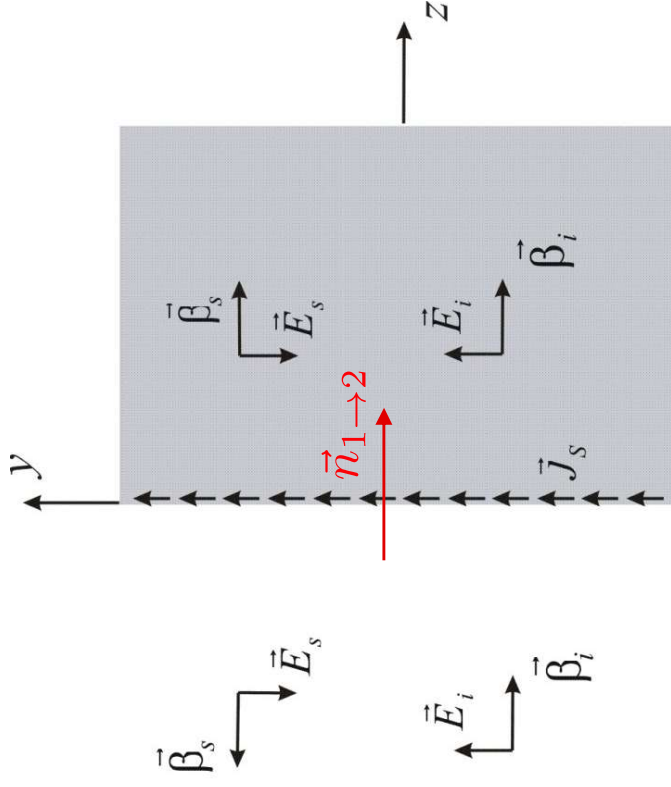


Onde réfléchie de champ électrique $-E_i e^{j\beta z} \vec{1}_y$



A gauche du matériau: $\vec{E}_s = -E_i e^{j\beta z} \vec{1}_y$

Onde plane $\rightarrow \vec{B}_s = -\frac{E_i}{c} e^{j\beta z} \vec{1}_x = -B_i e^{j\beta z} \vec{1}_x$



A gauche du matériau:

$$\underline{\vec{B}}_i = -\frac{E_i}{c} e^{-j\beta z} \vec{1}_x = -B_i e^{-j\beta z} \vec{1}_x$$

$$\underline{\vec{B}}_s = -\frac{E_i}{c} e^{j\beta z} \vec{1}_x = -B_i e^{j\beta z} \vec{1}_x$$

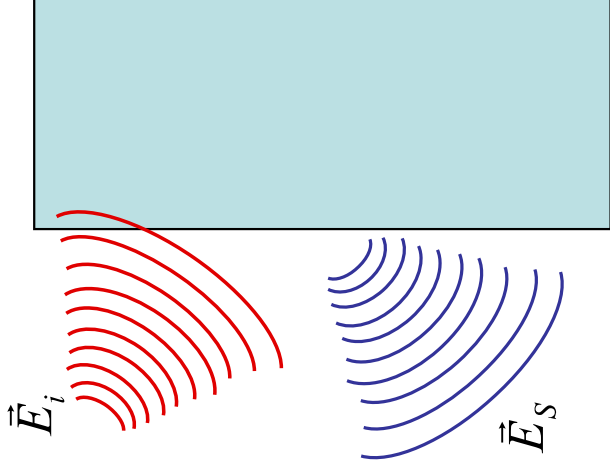
$$\underline{\vec{B}} = \underline{\vec{B}}_i + \underline{\vec{B}}_s = -2B_i \cos \beta z \vec{1}_x$$

Sur la surface du conducteur en $z = 0$: $\underline{\vec{B}} = -2B_i \vec{1}_x = 2\underline{\vec{B}}_i (z = 0)$

$$\vec{n}_{1 \rightarrow 2} \times (\underline{\vec{B}}_2 - \underline{\vec{B}}_1) = \mu_0 \vec{J}_S \quad \Rightarrow \quad \vec{n}_{1 \rightarrow 2} \times (-2\underline{\vec{B}}_i) = \mu_0 \underline{\vec{J}}_S$$

$$\underline{\vec{J}}_S = \frac{2}{\mu_0} (\underline{\vec{B}}_i \times \vec{n}_{1 \rightarrow 2}) = \frac{1}{\mu_0} (\underline{\vec{B}}(z = 0) \times \vec{n}_{1 \rightarrow 2})$$

Cas général



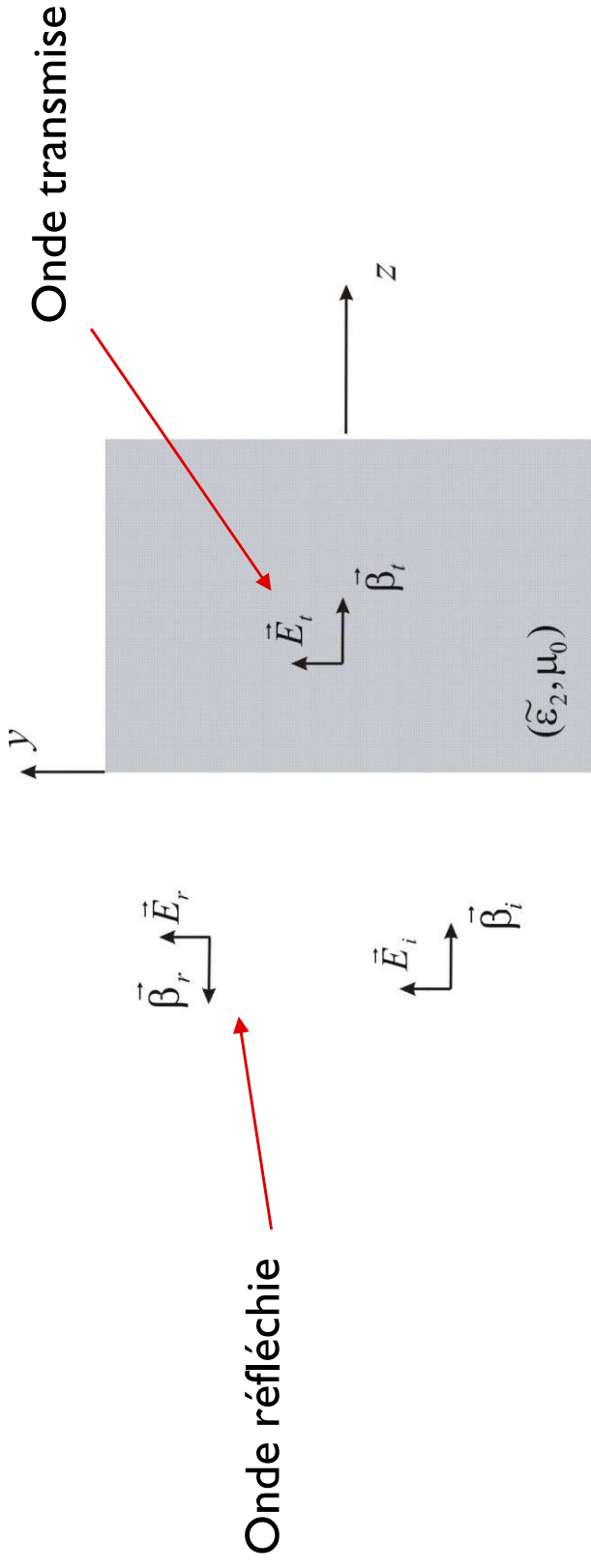
Étapes de calcul:

- 1) Déterminer les sources induites dans le **volume** du matériau
(dépend du champs électrique **total** dans le matériau !)
- 2) Calculer les champs rayonnés par ces sources
- 3) En déduire le champ total en tout point

itératif !



Il faut recourir aux conditions de saut des champs

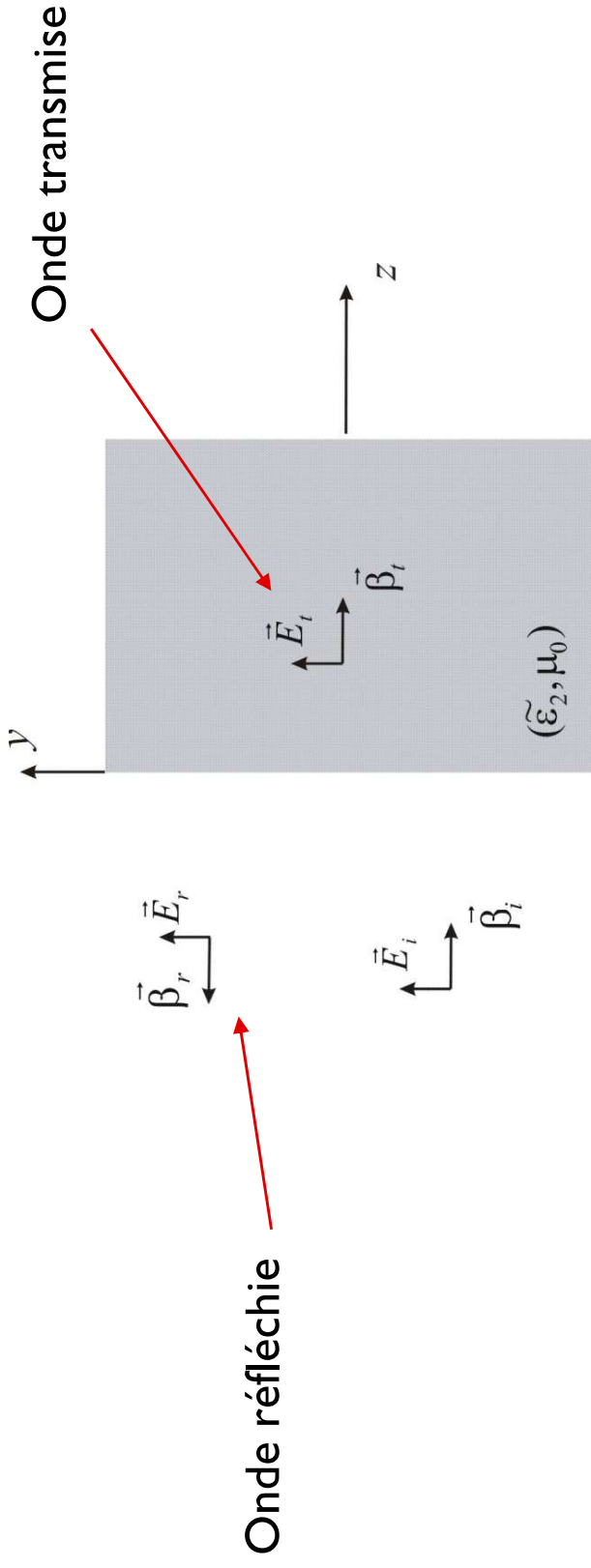


Onde incidente: $\vec{E}_i = E_i e^{-j\beta z} \vec{1}_y$

$$\vec{B}_i = -\frac{E_i}{c} e^{-j\beta z} \vec{1}_x = -\sqrt{\epsilon_0 \mu_0} E_i e^{-j\beta z} \vec{1}_x$$

Onde réfléchie: $\vec{E}_r = E_r e^{j\beta z} \vec{1}_y$

$$\vec{B}_r = \frac{E_r}{c} e^{j\beta z} \vec{1}_x = \sqrt{\epsilon_0 \mu_0} E_r e^{j\beta z} \vec{1}_x$$



Onde transmise: $\underline{\vec{E}}_t = E_t e^{-\gamma_2 z} \vec{\Gamma}_y$

$$\underline{\vec{B}}_t = -\sqrt{\tilde{\epsilon}_2 \mu_0} E_t e^{-\gamma_2 z} \vec{\Gamma}_x$$

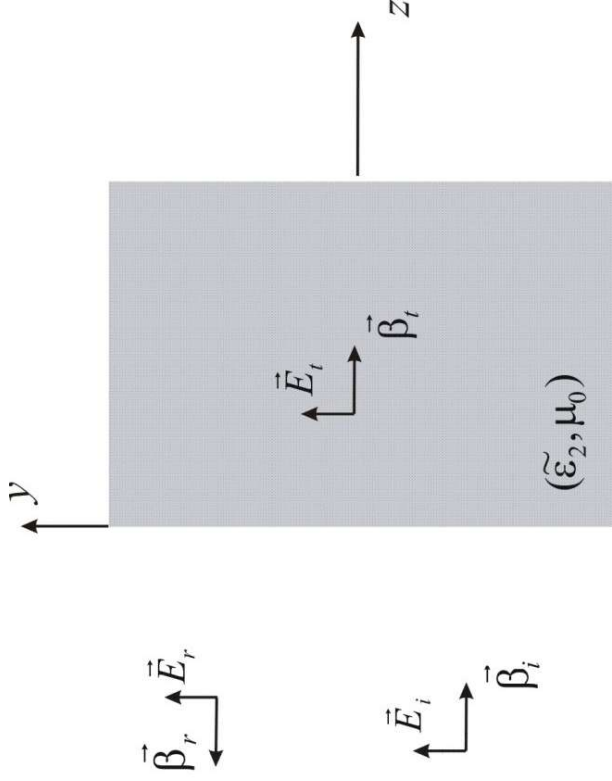
Linéarité:

$$E_r = \Gamma E_i$$

Γ est le coefficient de réflexion (complexe !)

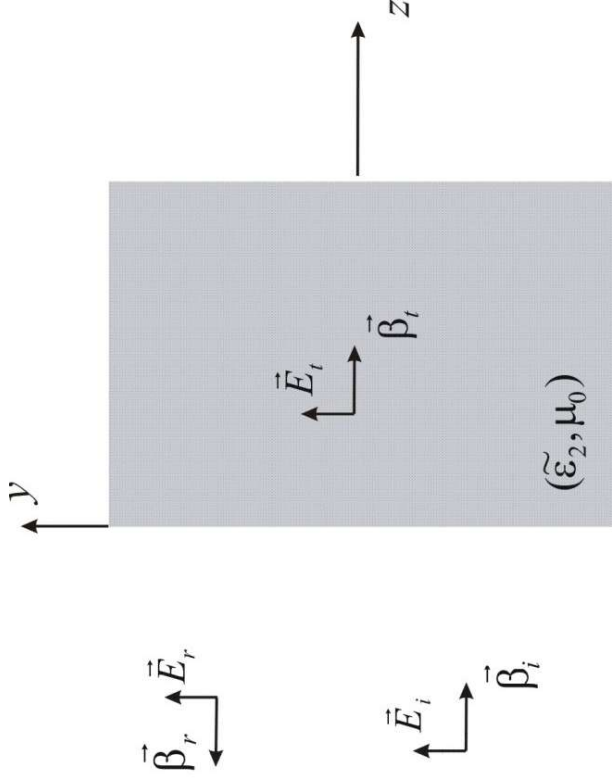
$$E_t = T E_i$$

T est le coefficient de transmission (complexe !)



$$\begin{aligned}\vec{E}_i &= E_i e^{-j\beta z} \vec{1}_y \\ \vec{B}_i &= -\frac{E_i}{c} e^{-j\beta z} \vec{1}_x = -\sqrt{\epsilon_0 \mu_0} E_i e^{-j\beta z} \vec{1}_x \\ \vec{E}_r &= \Gamma E_i e^{j\beta z} \vec{1}_y \\ \vec{B}_r &= \sqrt{\epsilon_0 \mu_0} \Gamma E_i e^{j\beta z} \vec{1}_x \\ \vec{E}_t &= T E_i e^{-\gamma_2 z} \vec{1}_y \\ \vec{B}_t &= -\sqrt{\tilde{\epsilon}_2 \mu_0} T E_i e^{-\gamma_2 z} \vec{1}_x\end{aligned}$$

$$\begin{aligned}\vec{n}_{1 \rightarrow 2} \times (\vec{E}_2 - \vec{E}_1) &= 0 \quad \Rightarrow \quad \vec{1}_z \times [T E_i - (E_i + \Gamma E_i)] \vec{1}_y = 0 \\ &\Rightarrow \quad T E_i = E_i + \Gamma E_i \quad \Rightarrow \quad T = 1 + \Gamma \\ \vec{n}_{1 \rightarrow 2} \times \left(\frac{\vec{B}_2}{\mu_2} - \frac{\vec{B}_1}{\mu_1} \right) &= \cancel{\vec{J}_s} \quad \Rightarrow \quad \vec{1}_z \times \left[-\frac{\sqrt{\tilde{\epsilon}_2 \mu_0}}{\mu_0} T E_i - \left(-\frac{\sqrt{\epsilon_0 \mu_0}}{\mu_0} E_i + \frac{\sqrt{\epsilon_0 \mu_0}}{\mu_0} \Gamma E_i \right) \right] \vec{1}_x = 0\end{aligned}$$



$$\underline{\vec{E}}_i = E_i e^{-j\beta z} \vec{\Gamma}_y$$

$$\underline{\vec{B}}_i = -\frac{E_i}{c} e^{-j\beta z} \vec{\Gamma}_x = -\sqrt{\epsilon_0 \mu_0} E_i e^{-j\beta z} \vec{\Gamma}_x$$

$$\underline{\vec{E}}_r = \Gamma E_i e^{j\beta z} \vec{\Gamma}_y$$

$$\underline{\vec{B}}_r = \sqrt{\epsilon_0 \mu_0} \Gamma E_i e^{j\beta z} \vec{\Gamma}_x$$

$$\underline{\vec{E}}_t = T E_i e^{-\gamma_2 z} \vec{\Gamma}_y$$

$$\underline{\vec{B}}_t = -\sqrt{\tilde{\epsilon}_2 \mu_0} T E_i e^{-\gamma_2 z} \vec{\Gamma}_x$$

$$\vec{n}_{1 \rightarrow 2} \times \left(\frac{\vec{B}_2}{\mu_2} - \frac{\vec{B}_1}{\mu_1} \right) = \cancel{\vec{J}_S} \Rightarrow \vec{\Gamma}_z \times \left[-\frac{\sqrt{\tilde{\epsilon}_2 \mu_0}}{\mu_0} T E_i - \left(-\frac{\sqrt{\epsilon_0 \mu_0}}{\mu_0} E_i + \frac{\sqrt{\epsilon_0 \mu_0}}{\mu_0} \Gamma E_i \right) \right] \vec{\Gamma}_x = 0$$

$$\Rightarrow -\frac{1}{Z_2} T E_i - \left(-\frac{1}{Z_0} E_i + \frac{1}{Z_0} \Gamma E_i \right) = 0 \Rightarrow \frac{1}{Z_2} T = \frac{1}{Z_0} - \frac{1}{Z_0} \Gamma$$

$$\left\{ \begin{array}{l} T = 1 + \Gamma \\ \frac{1}{Z_2} T = \frac{1}{Z_0} - \frac{1}{Z_0} \Gamma \end{array} \right. \quad \rightarrow$$

$$\Gamma = \frac{Z_2 - Z_0}{Z_2 + Z_0}$$

$$T = \frac{2Z_2}{Z_2 + Z_0}$$

Milieu bon conducteur

$$\gamma_2 = \alpha + j\beta \quad \alpha = \beta \approx \sqrt{\frac{\sigma_2 \omega \mu_0}{2}} = \frac{1}{\delta}$$

$$\rightarrow \gamma_2 = \frac{1+j}{\delta}$$

$$\rightarrow \vec{E}_t = T E_i e^{-\gamma_2 z} \vec{1}_y = T E_i e^{-jz/\delta} e^{-z/\delta} \vec{1}_y$$

$$\rightarrow \vec{J} = \sigma_2 \vec{E}_t = \sigma_2 T E_i e^{-jz/\delta} e^{-z/\delta} \vec{1}_y \quad = \text{densité de courant produisant l'onde réfléchie !}$$

\rightarrow Courant quasi superficiel

Exemple: réflexion sur du Cuivre

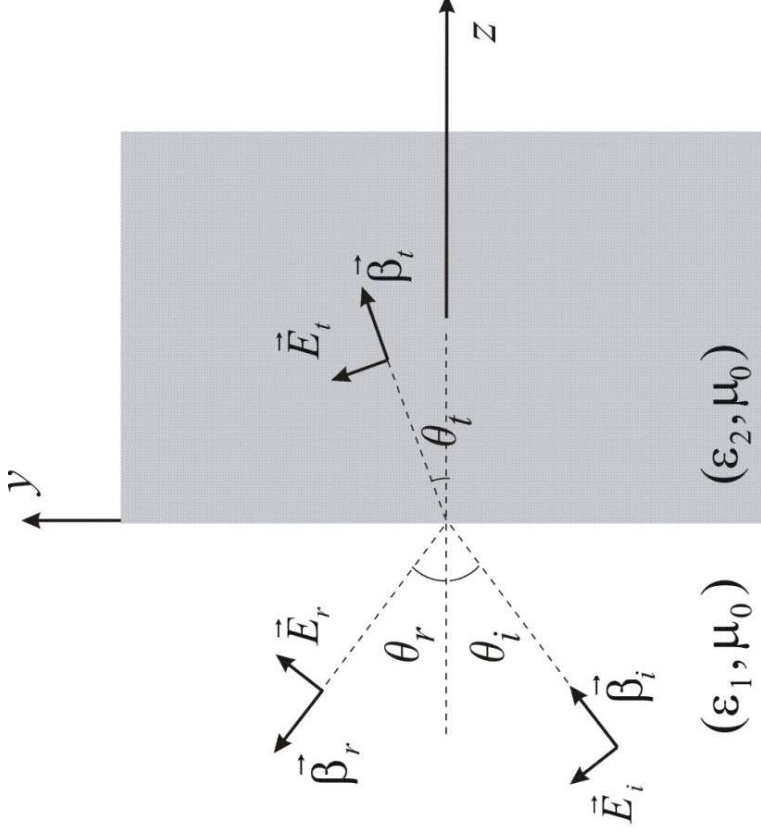
$$\tilde{\varepsilon}_2 = \varepsilon_2 - j \frac{\sigma_2}{\omega}$$

$$Z_2 = \sqrt{\frac{\mu_0}{\tilde{\varepsilon}_2}}$$

$$\Rightarrow Z_2 = 8,25 \cdot 10^{-3} (1 + j) \quad [\Omega]$$

$$\Rightarrow |\Gamma| = \left| \frac{Z_2 - Z_0}{Z_2 + Z_0} \right| = 0,9999562$$

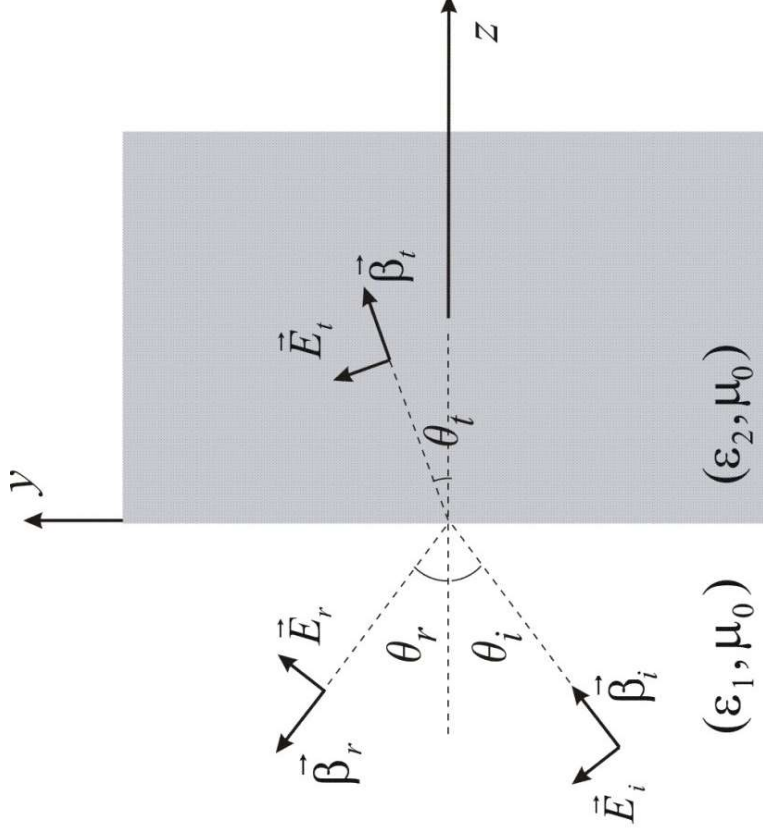
Matériau	ε_r	σ [S/m]
Cuivre	1	$5,8 \cdot 10^7$
Eau de mer	81	4
Sol	3 – 5	0,1
Béton	6	0,01
Tissu cérébral	43	1,3



Cas de la « polarisation parallèle »: champ électrique dans le plan d'incidence

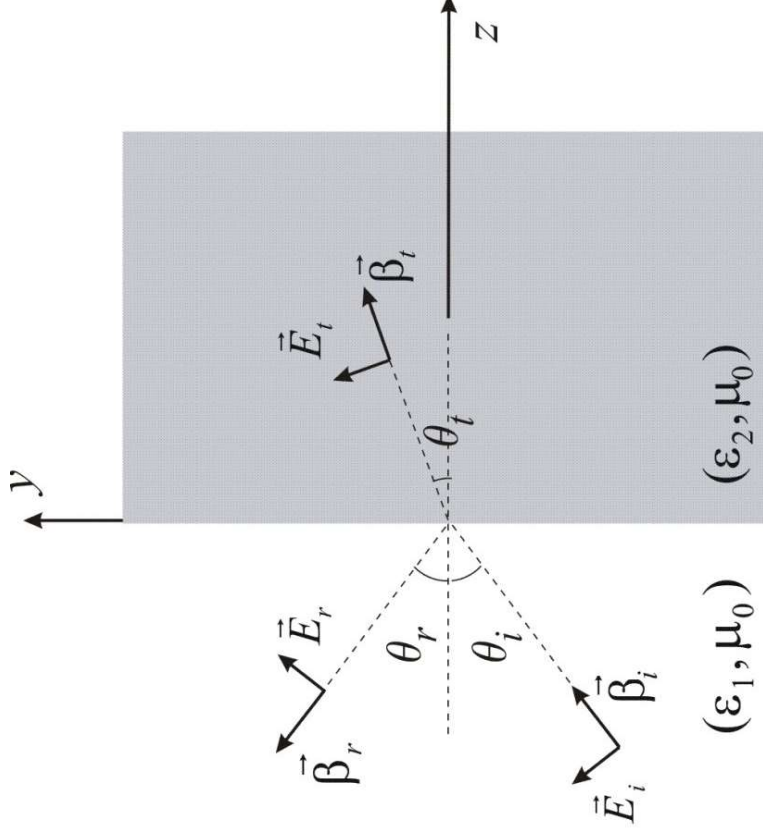
$$\vec{\beta}_i = \beta_1(\sin \theta_i \vec{1}_y + \cos \theta_i \vec{1}_z)$$

$$\rightarrow \begin{cases} \vec{E}_i = \vec{E}_i e^{-j\vec{\beta}_i \cdot \vec{r}} = \vec{E}_i e^{-j\beta_1(y \sin \theta_i + z \cos \theta_i)} = E_i(\cos \theta_i \vec{1}_y - \sin \theta_i \vec{1}_z) e^{-j\beta_1(y \sin \theta_i + z \cos \theta_i)} \\ \vec{B}_i = \vec{B}_i e^{-j\vec{\beta}_i \cdot \vec{r}} = -\sqrt{\epsilon_1 \mu_0} E_i e^{-j\beta_1(y \sin \theta_i + z \cos \theta_i)} \vec{1}_x \end{cases}$$



$$\vec{\beta}_r = \beta_1(\sin\theta_r \vec{1}_y - \cos\theta_r \vec{1}_z)$$

$$\rightarrow \begin{cases} \vec{E}_r = \vec{E}_i e^{-j\vec{\beta}_r \cdot \vec{r}} = \Gamma_{\parallel} E_i (\cos\theta_r \vec{1}_y + \sin\theta_r \vec{1}_z) e^{-j\beta_1(y \sin\theta_r - z \cos\theta_r)} \\ \vec{B}_r = \vec{B}_i e^{-j\vec{\beta}_r \cdot \vec{r}} = \Gamma_{\parallel} \sqrt{\epsilon_1 \mu_0} E_i e^{-j\beta_1(y \sin\theta_r - z \cos\theta_r)} \vec{1}_x \end{cases}$$



$$\vec{\beta}_t = \beta_2 (\sin \theta_t \vec{1}_y + \cos \theta_t \vec{1}_z)$$

$$\rightarrow \begin{cases} \vec{E}_t = \vec{E}_t e^{-j\vec{\beta}_t \cdot \vec{r}} = T_{\parallel} E_i (\cos \theta_t \vec{1}_y - \sin \theta_t \vec{1}_z) e^{-j\beta_2 (y \sin \theta_t + z \cos \theta_t)} \\ \vec{B}_t = \vec{B}_t e^{-j\vec{\beta}_t \cdot \vec{r}} = -T_{\parallel} \sqrt{\epsilon_2 \mu_0} E_i e^{-j\beta_2 (y \sin \theta_t + z \cos \theta_t)} \vec{1}_x \end{cases}$$

$$\begin{aligned}\vec{E}_i &= E_i(\cos\theta_i \vec{1}_y - \sin\theta_i \vec{1}_z)e^{-j\beta_1(y\sin\theta_i + z\cos\theta_i)} & \vec{E}_r &= \Gamma_{\parallel} E_i(\cos\theta_i \vec{1}_y + \sin\theta_i \vec{1}_z)e^{-j\beta_1(y\sin\theta_i - z\cos\theta_i)} \\ \vec{B}_i &= -\sqrt{\varepsilon_1\mu_0}E_i e^{-j\beta_1(y\sin\theta_i + z\cos\theta_i)} \vec{1}_x & \vec{B}_r &= \Gamma_{\parallel} \sqrt{\varepsilon_1\mu_0}E_i e^{-j\beta_1(y\sin\theta_i - z\cos\theta_i)} \vec{1}_x\end{aligned}$$

$$\theta_i = \theta_r$$

$$\begin{aligned}\vec{E}_t &= T_{\parallel} E_i(\cos\theta_t \vec{1}_y - \sin\theta_t \vec{1}_z)e^{-j\beta_2(y\sin\theta_t + z\cos\theta_t)} \\ \vec{B}_t &= -T_{\parallel} \sqrt{\varepsilon_2\mu_0}E_i e^{-j\beta_2(y\sin\theta_t + z\cos\theta_t)} \vec{1}_x\end{aligned}$$

Sur l'interface $z = 0$

$$\begin{aligned}\vec{E}_i &= E_i(\cos\theta_i \vec{1}_y - \sin\theta_i \vec{1}_z)e^{-j\beta_1 y \sin\theta_i} & \vec{E}_r &= \Gamma_{\parallel} E_i(\cos\theta_i \vec{1}_y + \sin\theta_i \vec{1}_z)e^{-j\beta_1 y \sin\theta_i} \\ \vec{B}_i &= -\sqrt{\varepsilon_1\mu_0}E_i e^{-j\beta_1 y \sin\theta_i} \vec{1}_x & \vec{B}_r &= \Gamma_{\parallel} \sqrt{\varepsilon_1\mu_0}E_i e^{-j\beta_1 y \sin\theta_i} \vec{1}_x\end{aligned}$$

$$\begin{aligned}\vec{E}_t &= T_{\parallel} E_i(\cos\theta_t \vec{1}_y - \sin\theta_t \vec{1}_z)e^{-j\beta_2 y \sin\theta_t} \\ \vec{B}_t &= -T_{\parallel} \sqrt{\varepsilon_2\mu_0}E_i e^{-j\beta_2 y \sin\theta_t} \vec{1}_x\end{aligned}$$

$$\beta_1 \sin \theta_i = \beta_2 \sin \theta_t$$

Sur l'interface $z = 0$

$$\vec{E}_i = E_i (\cos \theta_i \vec{1}_y - \sin \theta_i \vec{1}_z) e^{-j\beta_1 y \sin \theta_i}$$

$$\vec{B}_i = -\sqrt{\varepsilon_1 \mu_0} E_i e^{-j\beta_1 y \sin \theta_i} \vec{1}_x$$

$$\vec{E}_r = \Gamma_{\parallel} E_i (\cos \theta_i \vec{1}_y + \sin \theta_i \vec{1}_z) e^{-j\beta_1 y \sin \theta_i}$$

$$\vec{B}_r = \Gamma_{\parallel} \sqrt{\varepsilon_1 \mu_0} E_i e^{-j\beta_1 y \sin \theta_i} \vec{1}_x$$

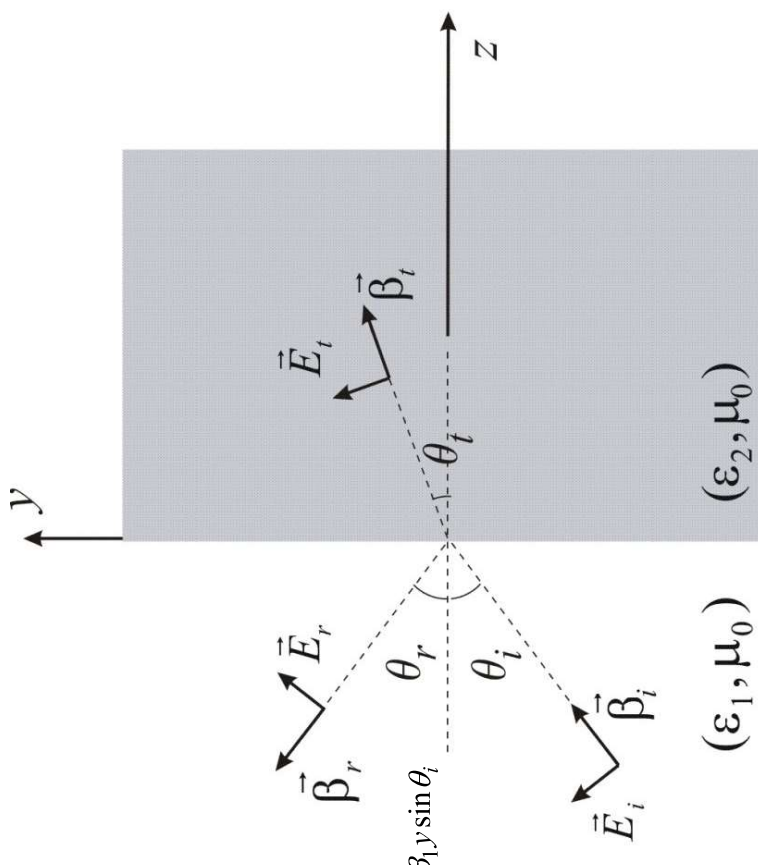
$$\vec{E}_t = T_{\parallel} E_i (\cos \theta_t \vec{1}_y - \sin \theta_t \vec{1}_z) e^{-j\beta_2 y \sin \theta_t}$$

$$\vec{B}_t = -T_{\parallel} \sqrt{\varepsilon_2 \mu_0} E_i e^{-j\beta_2 y \sin \theta_t} \vec{1}_x$$

$$\vec{n}_{1 \rightarrow 2} \times (\vec{E}_2 - \vec{E}_1) = 0$$

$$E_i \cos \theta_i e^{-j\beta_1 y \sin \theta_i} + \Gamma_{\parallel} E_i \cos \theta_i e^{-j\beta_1 y \sin \theta_i} = T_{\parallel} E_i \cos \theta_t e^{-j\beta_2 y \sin \theta_t}$$

$$\Rightarrow \cos \theta_i + \Gamma_{\parallel} \cos \theta_i = T_{\parallel} \cos \theta_t$$



$$\beta_1 \sin \theta_i = \beta_2 \sin \theta_t$$

Sur l'interface $z = 0$

$$\vec{E}_i = E_i (\cos \theta_i \vec{1}_y - \sin \theta_i \vec{1}_z) e^{-j\beta_1 y \sin \theta_i}$$

$$\vec{B}_i = -\sqrt{\varepsilon_1 \mu_0} E_i e^{-j\beta_1 y \sin \theta_i} \vec{1}_x$$

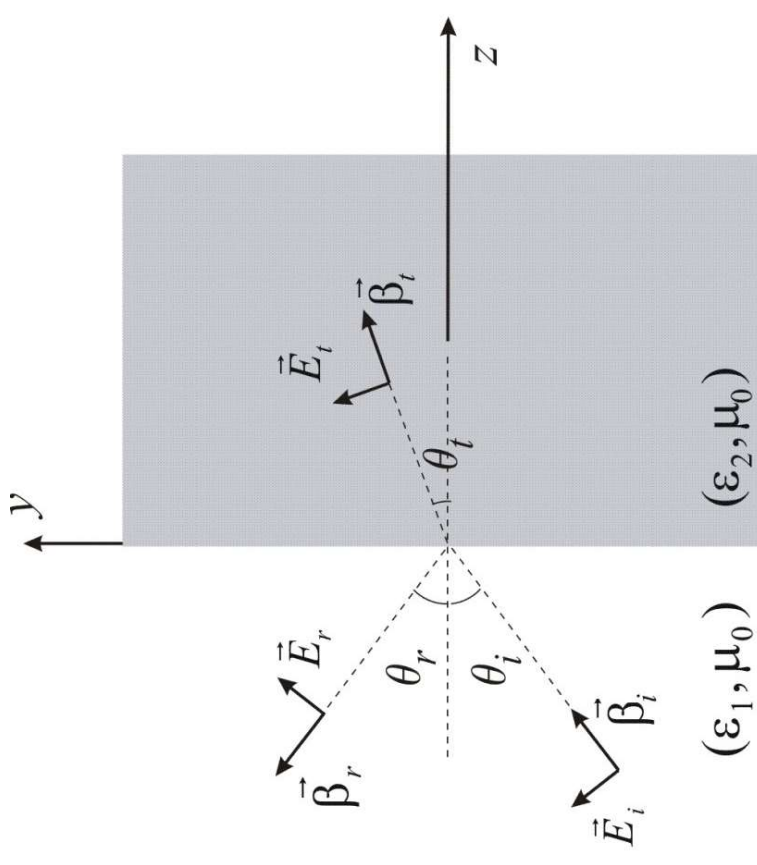
$$\vec{E}_t = T_{\parallel} E_i (\cos \theta_t \vec{1}_y - \sin \theta_t \vec{1}_z) e^{-j\beta_2 y \sin \theta_t}$$

$$\vec{B}_t = -T_{\parallel} \sqrt{\varepsilon_2 \mu_0} E_i e^{-j\beta_2 y \sin \theta_t} \vec{1}_x$$

$$\vec{n}_{1 \rightarrow 2} \times \left(\frac{\vec{B}_2}{\mu_2} - \frac{\vec{B}_1}{\mu_1} \right) = \vec{J}_S$$

$$\Rightarrow -\frac{\sqrt{\varepsilon_1 \mu_0}}{\mu_0} E_i + \Gamma_{\parallel} \frac{\sqrt{\varepsilon_1 \mu_0}}{\mu_0} E_i = -T_{\parallel} \frac{\sqrt{\varepsilon_2 \mu_0}}{\mu_0} E_i$$

$$\Rightarrow -\frac{1}{Z_1} + \frac{\Gamma_{\parallel}}{Z_1} = -\frac{T_{\parallel}}{Z_2}$$



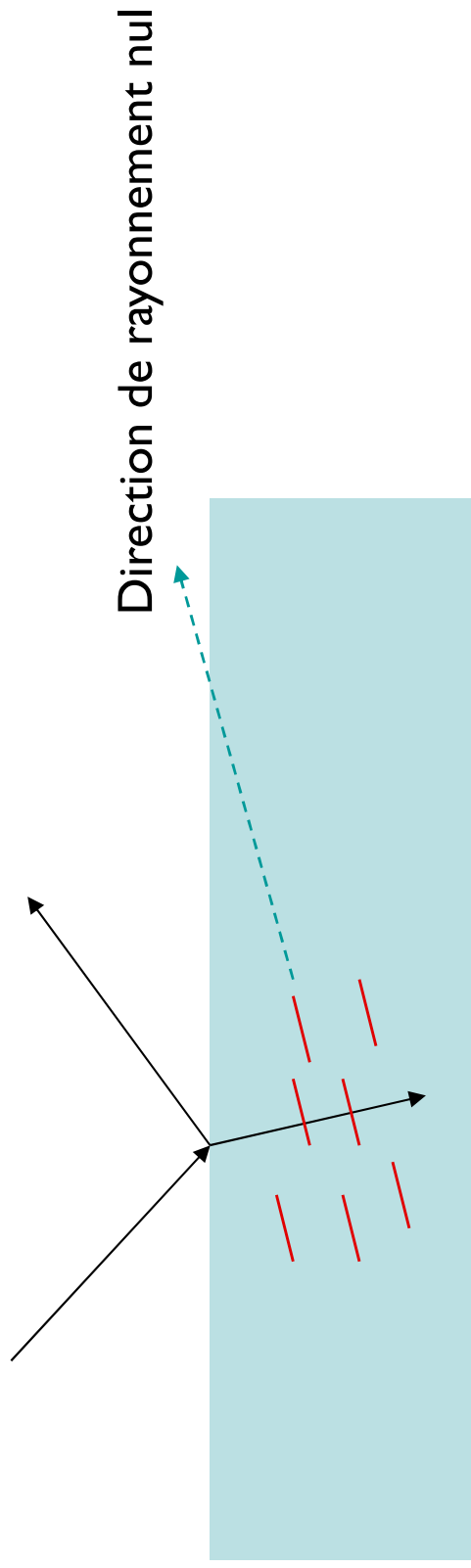
$$\left\{ \begin{array}{l} \cos \theta_i + \Gamma_{\parallel} \cos \theta_i = T_{\parallel} \cos \theta_t \\ -\frac{1}{Z_1} + \frac{\Gamma_{\parallel}}{Z_1} = -\frac{T_{\parallel}}{Z_2} \end{array} \right.$$

$$\Gamma_{\parallel} = \frac{Z_2 \cos \theta_t - Z_1 \cos \theta_i}{Z_2 \cos \theta_t + Z_1 \cos \theta_i}$$

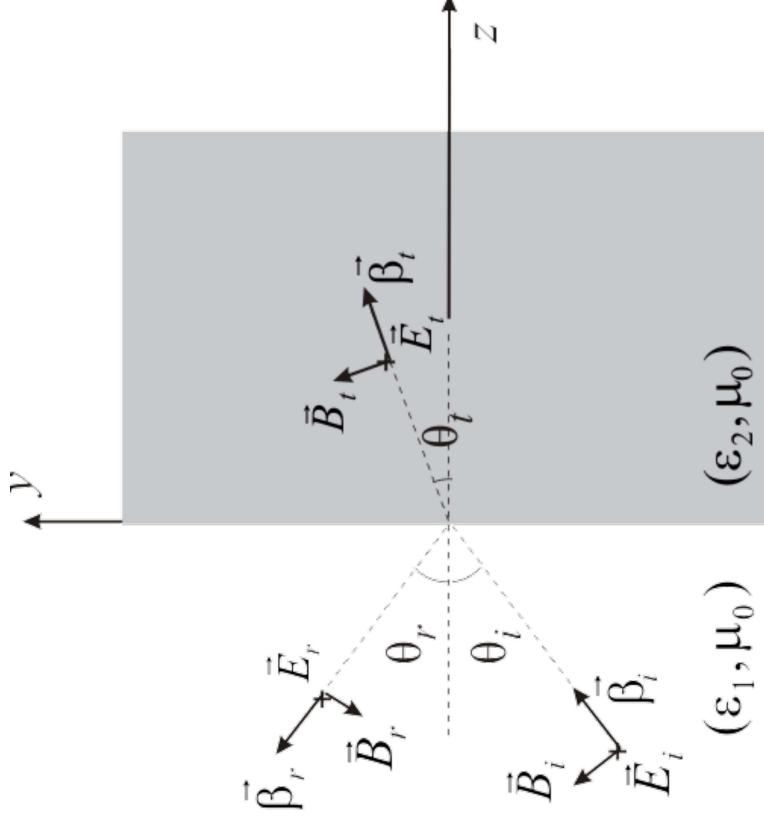
$$T_{\parallel} = \frac{2 Z_2 \cos \theta_i}{Z_2 \cos \theta_t + Z_1 \cos \theta_i}$$

$$\beta_1 \sin \theta_i = \beta_2 \sin \theta_t$$

→ Lorsque $\cos \theta_i = \frac{Z_2}{Z_1} \cos \theta_t$ l'onde réfléchie est nulle !
= **angle de Brewster**



polarisation perpendiculaire

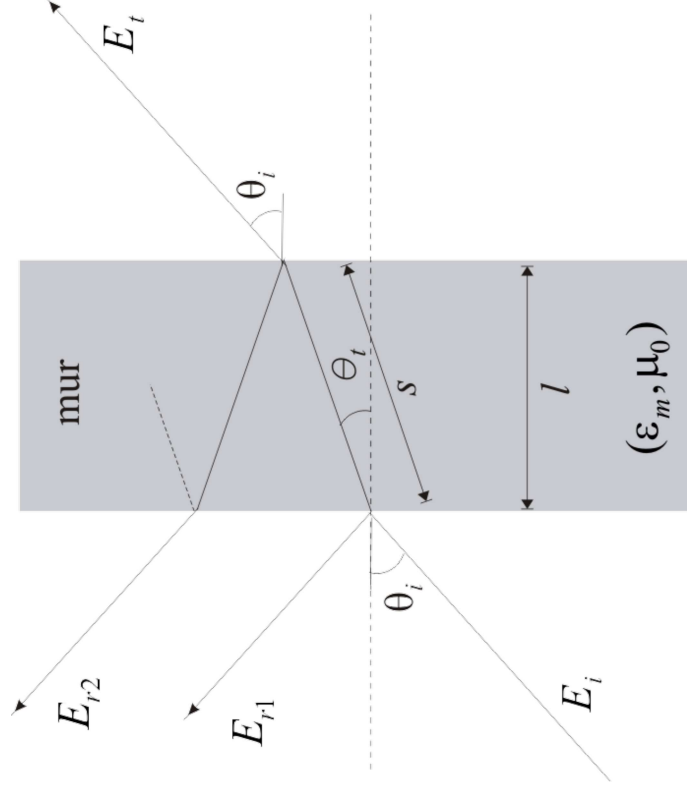


Exercice..

$$\Gamma_{\perp} = \frac{Z_2 \cos \theta_i - Z_1 \cos \theta_t}{Z_2 \cos \theta_i + Z_1 \cos \theta_t}$$

$$T_{\perp} = \frac{2Z_2 \cos \theta_i}{Z_2 \cos \theta_i + Z_1 \cos \theta_t}$$

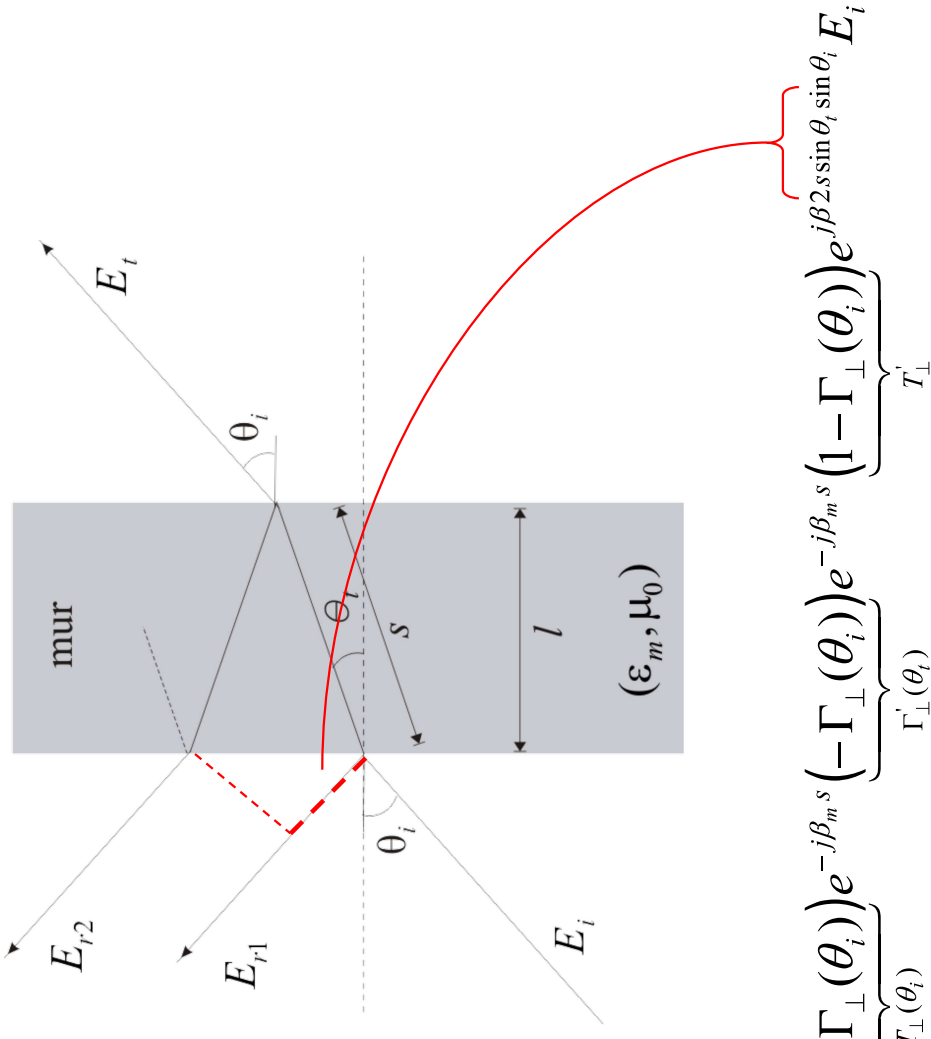
Réflexion



$$E_{r1} = \Gamma_{\perp}(\theta_i) E_i$$

$$\Gamma_{\perp} = \frac{Z_2 \cos \theta_i - Z_1 \cos \theta_t}{Z_2 \cos \theta_i + Z_1 \cos \theta_t}$$

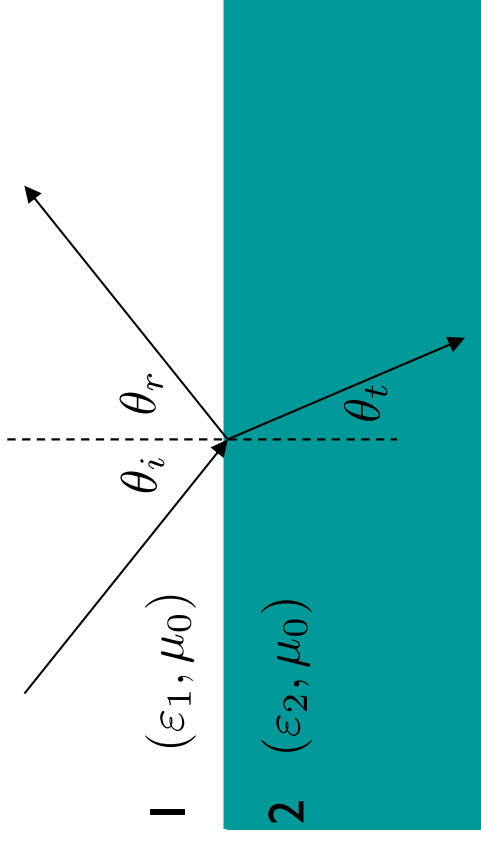
$$T_{\perp} = \frac{2Z_2 \cos \theta_i}{Z_2 \cos \theta_i + Z_1 \cos \theta_t}$$



Et ainsi de suite pour toutes les réflexions..

Expression: voir syllabus et TP

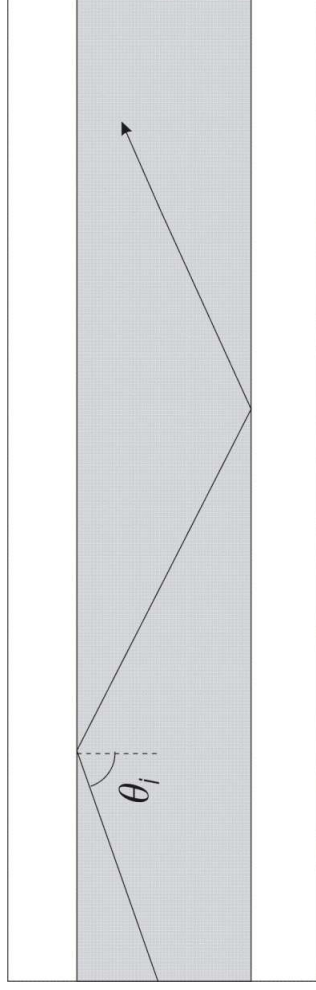
Loi de Snell: $\sin \theta_t = \sqrt{\frac{\varepsilon_1}{\varepsilon_2}} \sin \theta_i$



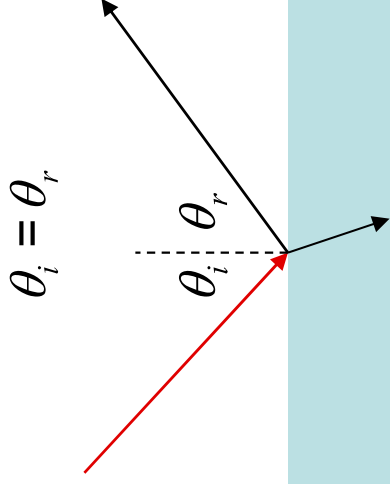
Si $\varepsilon_1 > \varepsilon_2$ il existe un angle d'incidence à partir duquel le membre de droite est supérieur à l'unité -> ??

$$\sin \theta_{ic} = \sqrt{\frac{\varepsilon_2}{\varepsilon_1}}$$

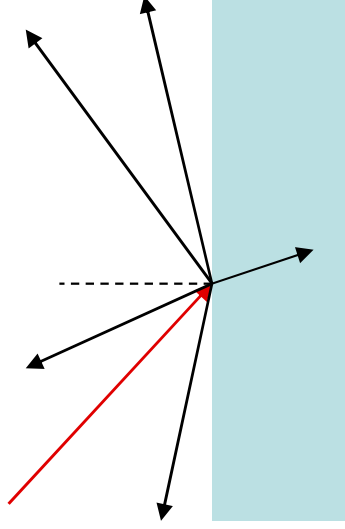
On montre que dans ce cas toute l'énergie incidente est réfléchie: il y a **réflexion totale**



Si une onde est incidente sur une interface plane infinie, elle est **réfléchie** dans la direction imposée par la Loi de Snell



Si une onde est incidente sur une interface plane finie, elle est **diffractée** dans toutes les directions



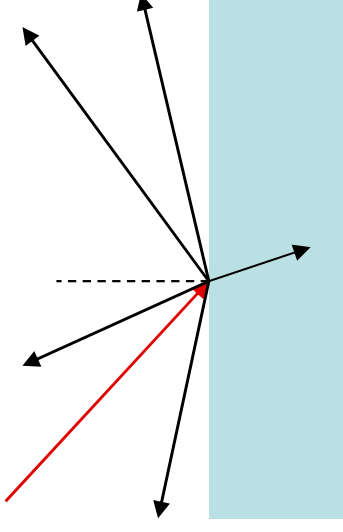
Comment calculer ces ondes diffractées ?

Même principe:

1. Déterminer les courants induits
2. En déduire les champs rayonnés par ces courants

Ce n'est possible exactement que pour certains obstacles idéalisés

Nous allons calculer la diffraction par une plaque parfaitement conductrice dans l'approximation de l'**optique physique**: le courant induit en chaque point de l'obstacle est identique à celui qui serait induit sur un plan infini parfaitement conducteur



$$\vec{J}_S = \frac{2}{\mu_0} \left(\vec{B}_i \times \vec{n}_{1 \rightarrow 2} \right) = \frac{1}{\mu_0} \left(\vec{B}(z=0) \times \vec{n}_{1 \rightarrow 2} \right)$$

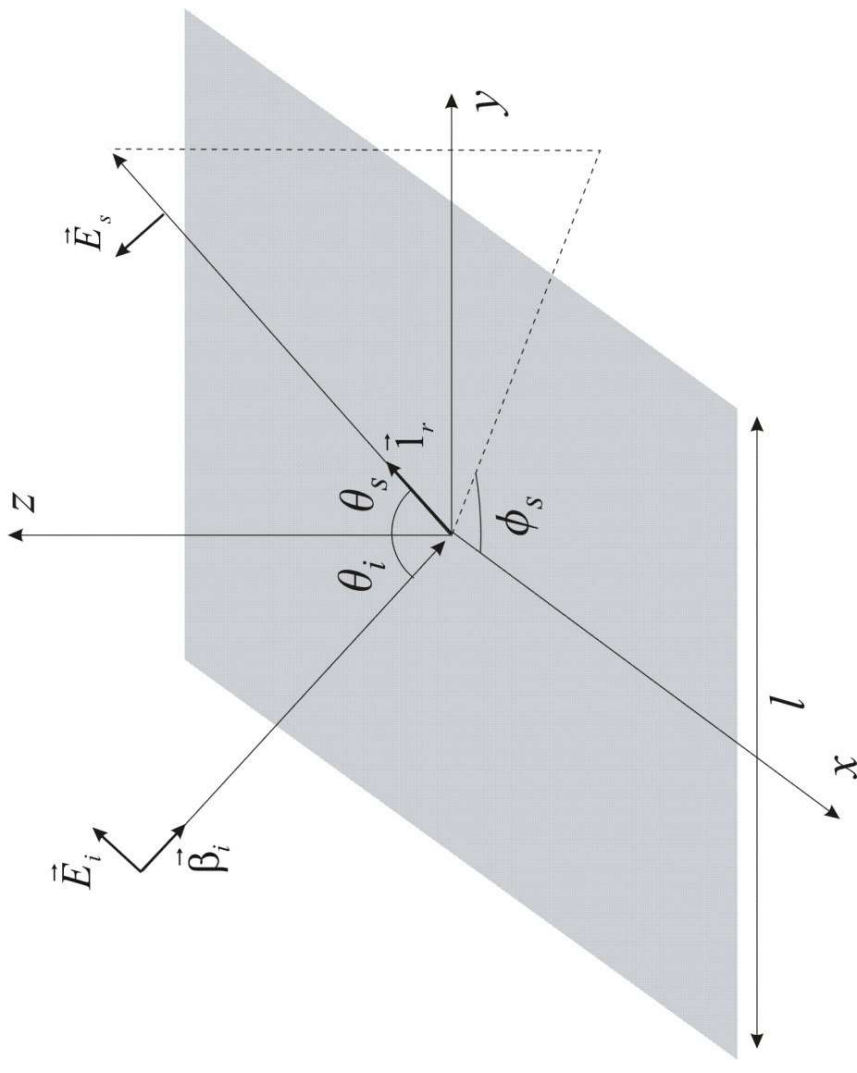
$$\underline{\vec{E}}_i = \vec{E}_i e^{-j\vec{\beta}_i \cdot \vec{r}}$$

$$\underline{\vec{B}}_i = \vec{B}_i e^{-j\vec{\beta}_i \cdot \vec{r}}$$

$$\vec{\beta}_i = \beta(\sin \theta_i \vec{1}_y - \cos \theta_i \vec{1}_z)$$

$$\vec{r} = x\vec{1}_x + y\vec{1}_y + z\vec{1}_z$$

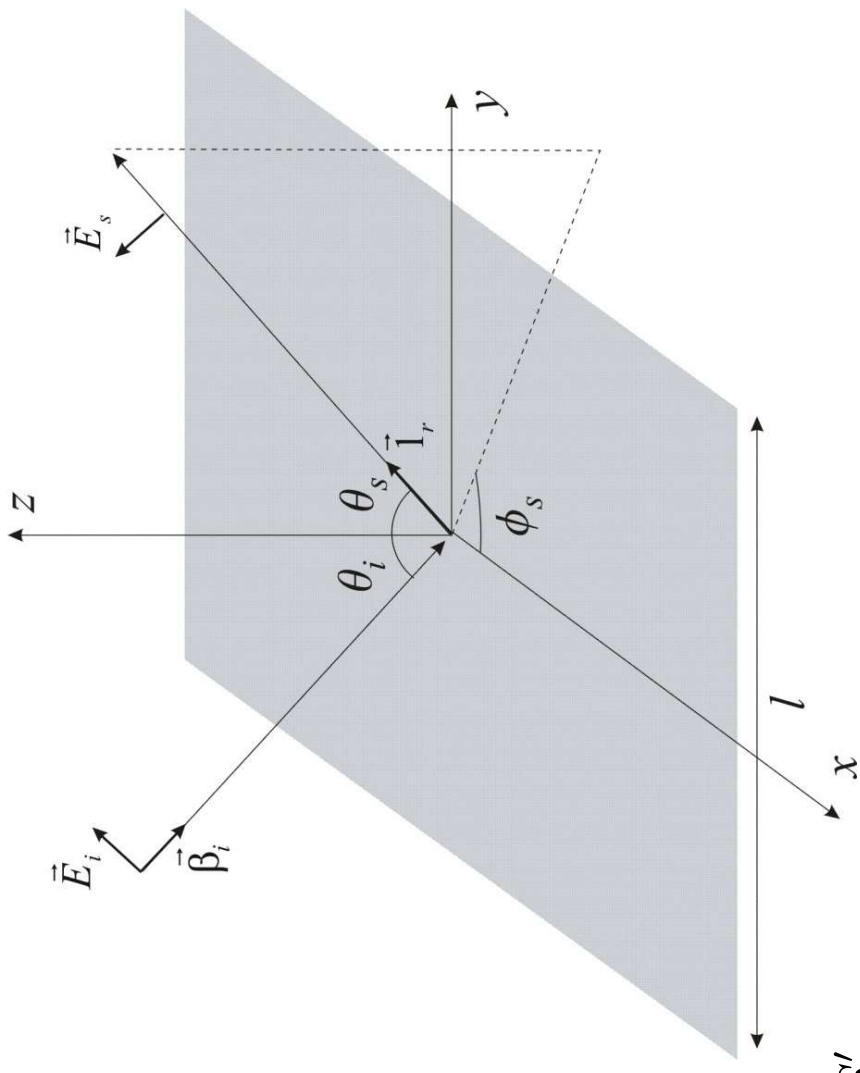
$$\rightarrow \vec{\beta}_i \cdot \vec{r} = \beta(y \sin \theta_i - z \cos \theta_i)$$



$$\rightarrow \left\{ \begin{array}{l} \underline{\vec{E}}_i = E_i (\cos \theta_i \vec{1}_y + \sin \theta_i \vec{1}_z) e^{-j\beta(y \sin \theta_i - z \cos \theta_i)} \\ \underline{\vec{B}}_i = \frac{E_i}{c} e^{-j\beta(y \sin \theta_i - z \cos \theta_i)} \vec{1}_x \end{array} \right.$$

$$\rightarrow \underline{\vec{J}}_S = \frac{2}{\mu_0} \underline{\vec{B}}_i(z=0) \times (-\vec{1}_z) = \frac{2 E_i}{c \mu_0} e^{-j\beta y \sin \theta_i} \vec{1}_y = \frac{2 E_i}{Z_0} e^{-j\beta y \sin \theta_i} \vec{1}_y$$

Calculons le champ électrique diffracté
dans la direction (θ_s, ϕ_s)



$$\vec{A}^o(\theta_s, \phi_s) = \int_S \vec{J}_S(\vec{r}') e^{j\beta(\vec{r}' \cdot \vec{I}_r)} dS'$$

$$\vec{I}_r = \cos \theta_s \vec{I}_z + \sin \theta_s \cos \phi_s \vec{I}_x + \sin \theta_s \sin \phi_s \vec{I}_y$$

$$\vec{r}' = x' \vec{I}_x + y' \vec{I}_y$$


$$\vec{r}' \cdot \vec{I}_r = x' \sin \theta_s \cos \phi_s + y' \sin \theta_s \sin \phi_s$$

$$\vec{A}^{\circ}(\theta_s, \phi_s) = \int_S \vec{J}_S(\vec{r}') e^{j\beta(\vec{r}' \cdot \vec{1}_r)} dS'$$

$$\vec{J}_S = \frac{2E_i}{Z_0} e^{-j\beta y \sin \theta_i} \vec{1}_y$$

$$\vec{r}' \cdot \vec{1}_r = x' \sin \theta_s \cos \phi_s + y' \sin \theta_s \sin \phi_s$$

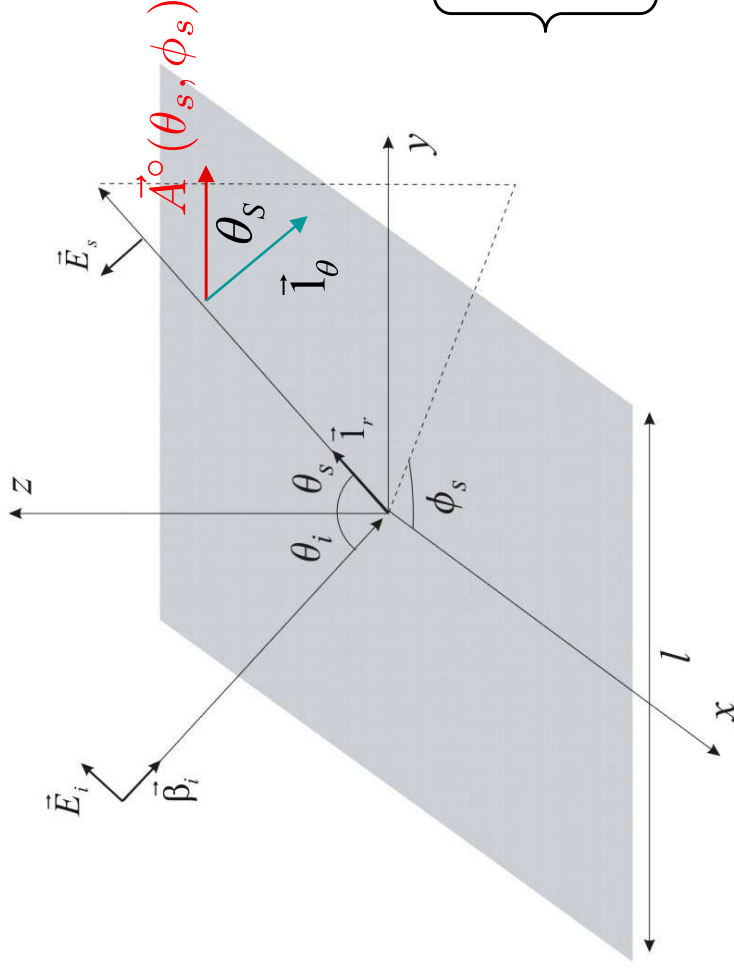
$$\begin{aligned} A_y^{\circ}(\theta_s, \phi_s) &= \frac{2E_i}{Z_0} \int_{-l/2}^{l/2} \int_{-l/2}^{l/2} e^{-j\beta y' \sin \theta_i} e^{j\beta x' \sin \theta_s \cos \phi_s} e^{j\beta y' \sin \theta_s \sin \phi_s} dx' dy' \\ &= \frac{2E_i}{Z_0} \int_{-l/2}^{l/2} e^{j\beta x' \sin \theta_s \cos \phi_s} dx' \int_{-l/2}^{l/2} e^{j\beta y' (\sin \theta_s \sin \phi_s - \sin \theta_i)} dy' \\ &= \frac{2E_i}{Z_0} l^2 \frac{\sin\left(\frac{\beta l}{2} \sin \theta_s \cos \phi_s\right) \sin\left(\frac{\beta l}{2} (\sin \theta_s \sin \phi_s - \sin \theta_i)\right)}{\frac{\beta l}{2} \sin \theta_s \cos \phi_s \frac{\beta l}{2} (\sin \theta_s \sin \phi_s - \sin \theta_i)} \end{aligned}$$

Dans le plan yz : $\phi_s = \pi/2$  $A_y^{\circ} = \frac{2E_i}{Z_0} l^2 \frac{\sin\left(\frac{\beta l}{2} (\sin \theta_s - \sin \theta_i)\right)}{\frac{\beta l}{2} (\sin \theta_s - \sin \theta_i)}$

Dans le plan yz : $\phi_s = \pi/2$



$$A_y^o = \frac{2E_i}{Z_0} l^2 \frac{\sin\left(\frac{\beta l}{2}(\sin\theta_s - \sin\theta_i)\right)}{\frac{\beta l}{2}(\sin\theta_s - \sin\theta_i)}$$

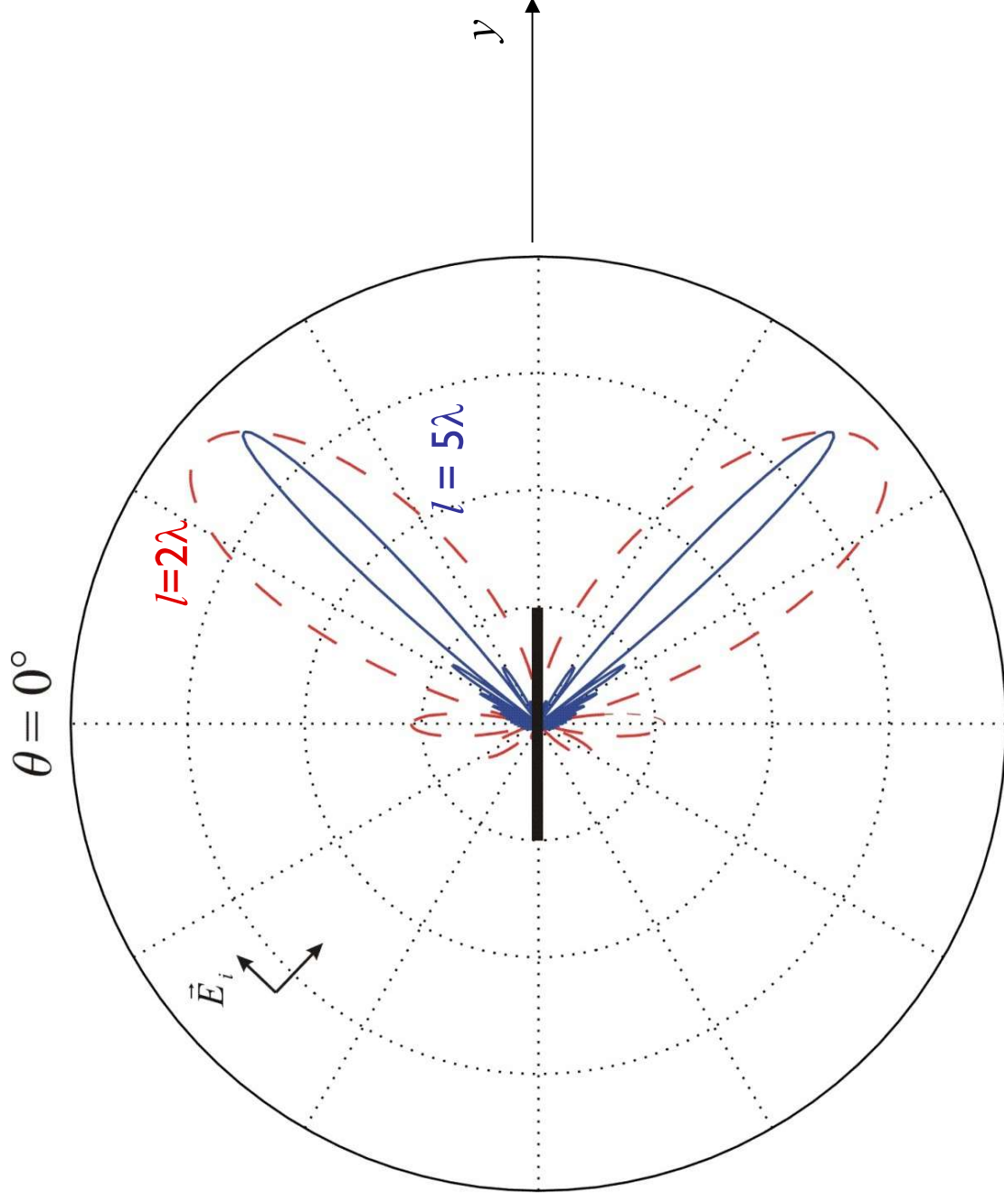


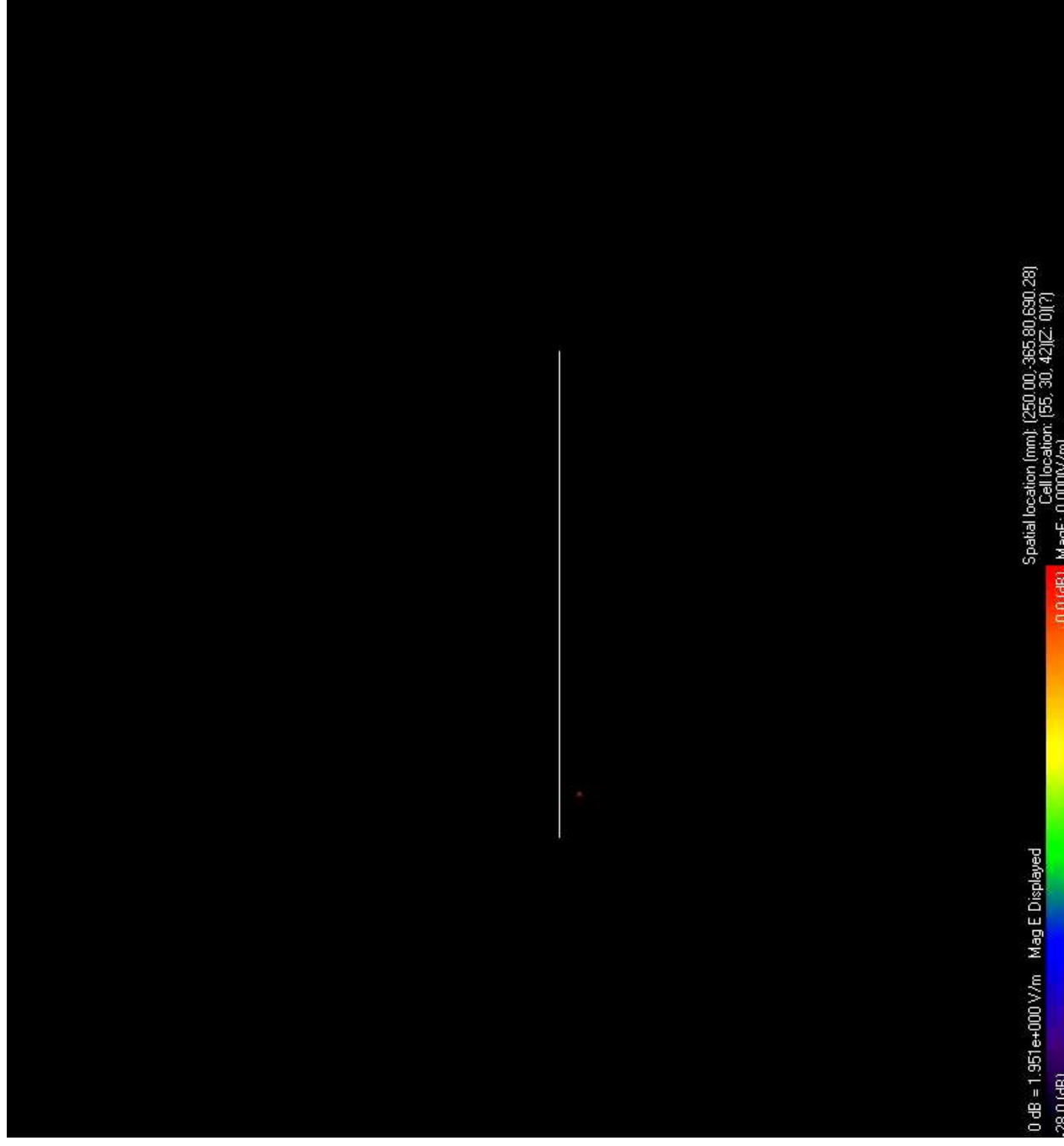
Pour $y > 0$:

$$\begin{cases} A_\theta^o = \frac{2E_i}{Z_0} l^2 \frac{\sin\left(\frac{\beta l}{2}(\sin\theta_s - \sin\theta_i)\right)}{\frac{\beta l}{2}(\sin\theta_s - \sin\theta_i)} \cos\theta_s \\ A_\phi^o = 0 \end{cases}$$



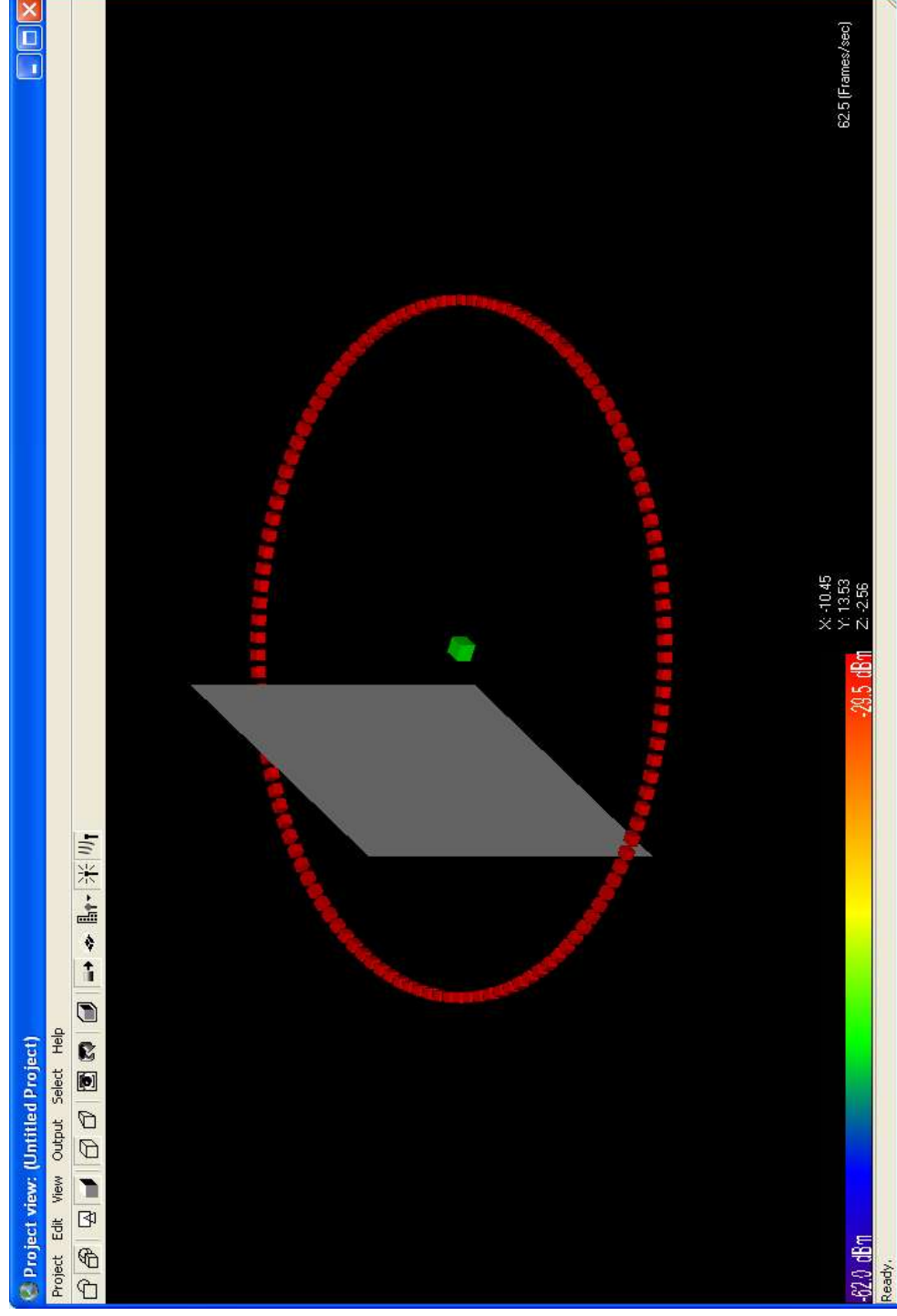
$$\underline{E}_{s\theta} = -j\omega \frac{\mu_0}{4\pi} \frac{e^{-j\beta r}}{r} A_\theta^o = -j\omega \frac{E_i}{2\pi c} l^2 \cos\theta_s \frac{\sin\left(\frac{\beta l}{2}(\sin\theta_s - \sin\theta_i)\right)}{\frac{\beta l}{2}(\sin\theta_s - \sin\theta_i)} \frac{e^{-j\beta r}}{r}$$





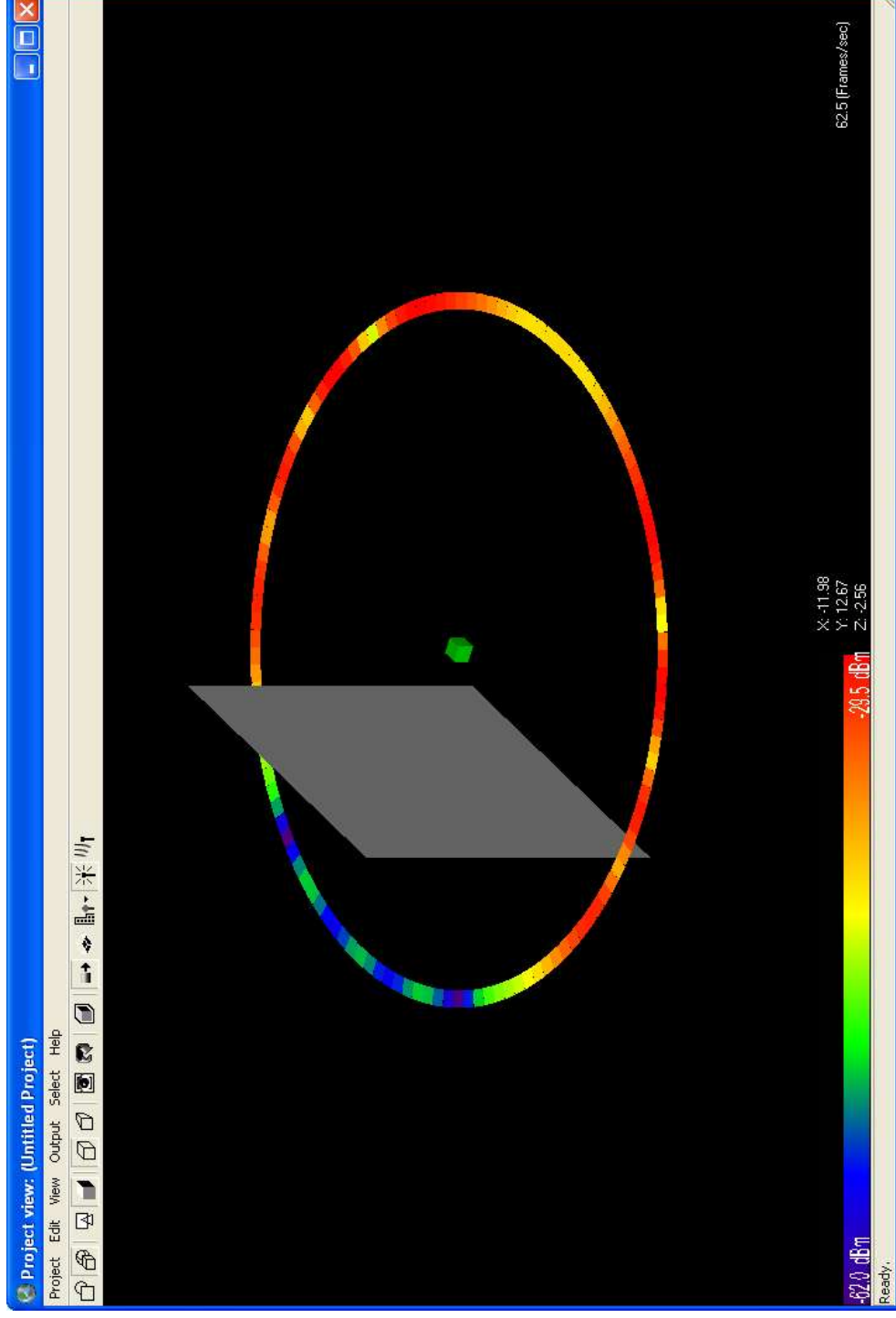
Diffraction

Plaque parfaitement conductrice



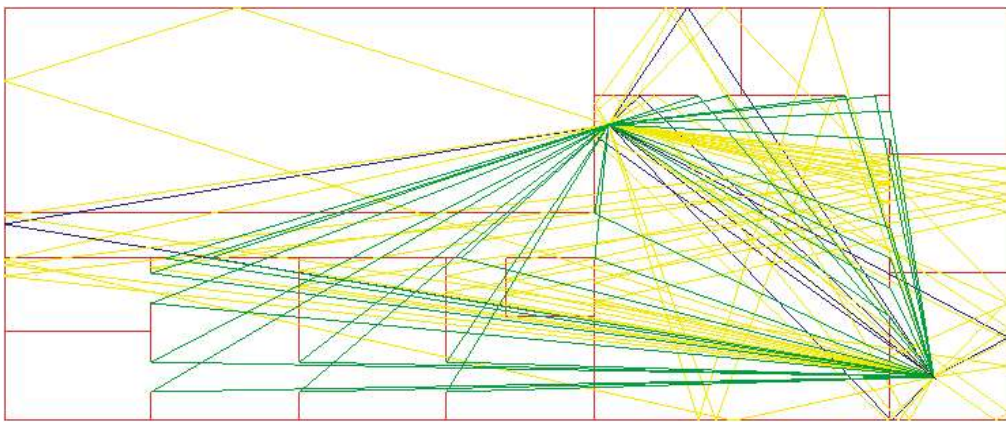
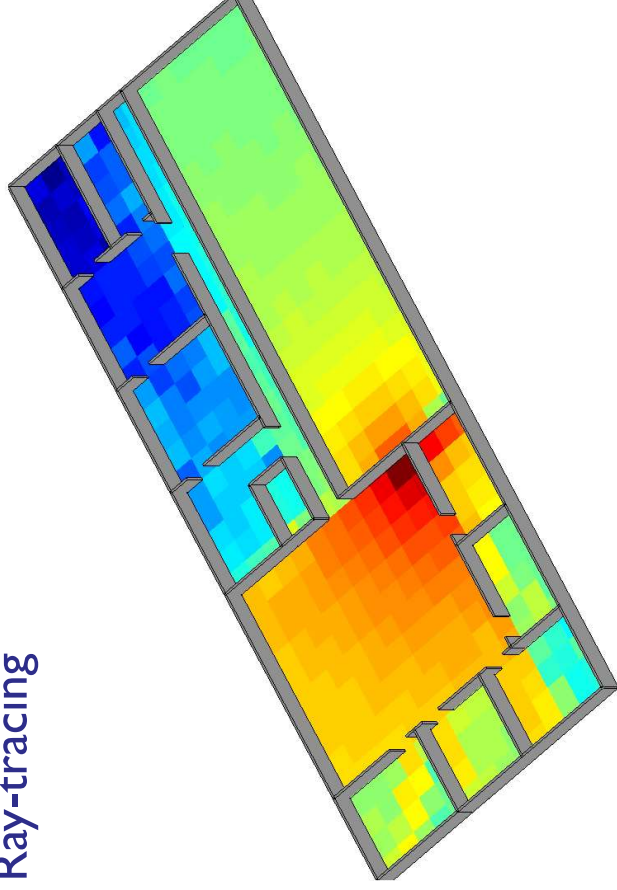
Diffraction

Plaque parfaitement conductrice



Question: Comment fonctionne votre WiFi ?

→ Ray-tracing



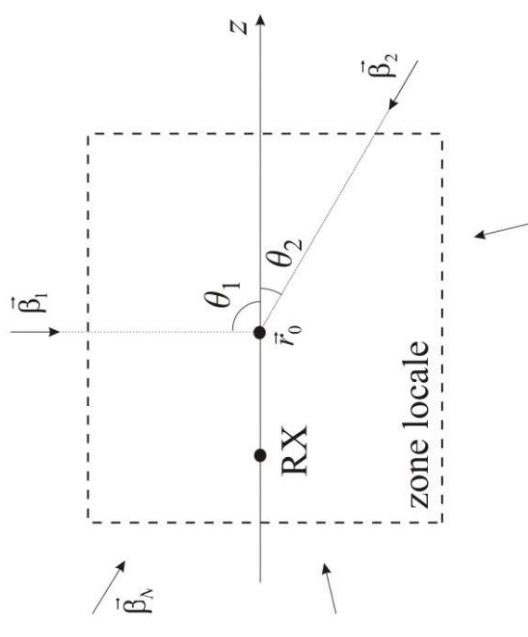
Composantes
multi-trajets
(supposées localement planes)

Tension induite:

$$V_{oc}(\vec{r}) = - \sum_{n=1}^N \vec{h}_e^{RX}(\theta_n, \phi_n) \cdot \vec{E}_n(\vec{r})$$

Hauteur
équivalente du
récepteur

Champ
électrique de
l'onde n

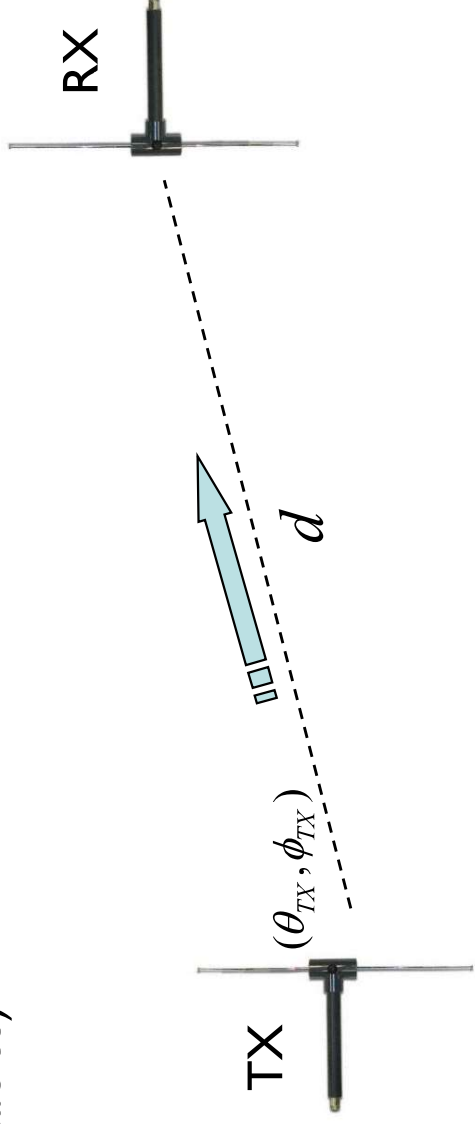


Hypothèses simplificatrices:

- Propagation dans un plan (horizontal ou vertical).
- Champ électrique polarisé perpendiculairement à ce plan. Soit \underline{E} la composante unique du champ électrique.
- Les obstacles sont supposés normaux au plan de propagation.
- Nous utiliserons l'approximation de l'optique géométrique pour calculer les ondes réfléchies et transmises.
- La diffraction est négligée (approximation valable à haute fréquence, au-delà de 10GHz).

Onde directe

Pas interaction avec les obstacles (sauf éventuellement transmission au travers d'obstacles)



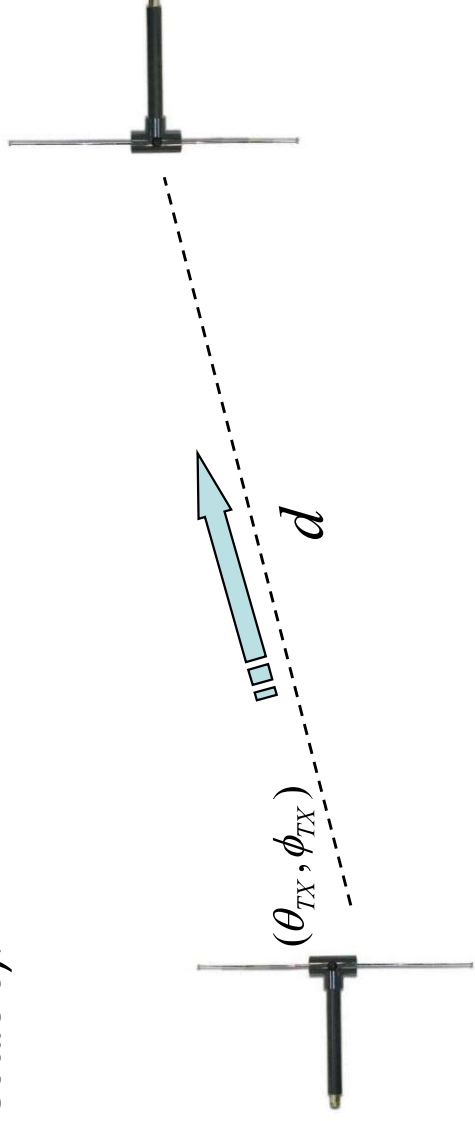
$$\underline{E} = E_0(\theta_{TX}, \phi_{TX}) \frac{e^{-j\beta d}}{d}$$

où d est la distance émetteur-récepteur et

$$E_0(\theta_{TX}, \phi_{TX}) = -j\omega I_a \frac{\mu_0}{4\pi} h_{e\perp}^{TX}(\theta_{TX}, \phi_{TX})$$

Onde directe

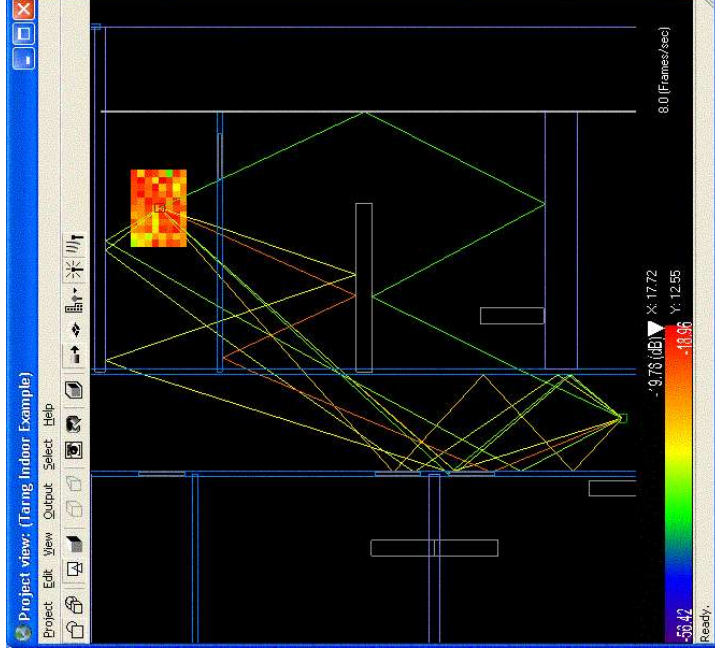
Pas interaction avec les obstacles (éventuellement transmission au travers d'un obstacle):



$$\underline{E} = E_0(\theta_{TX}, \phi_{TX}) \frac{e^{-j\beta d}}{d}$$

Si la hauteur équivalente de l'antenne d'émission n'est pas connue, on peut connaître $|E_0|$, mais non sa phase:

$$\rightarrow |E_0(\theta_{TX}, \phi_{TX})| = \sqrt{60 G_{TX}(\theta_{TX}, \phi_{TX}) P_{TX}}$$



Composante multi-trajet n

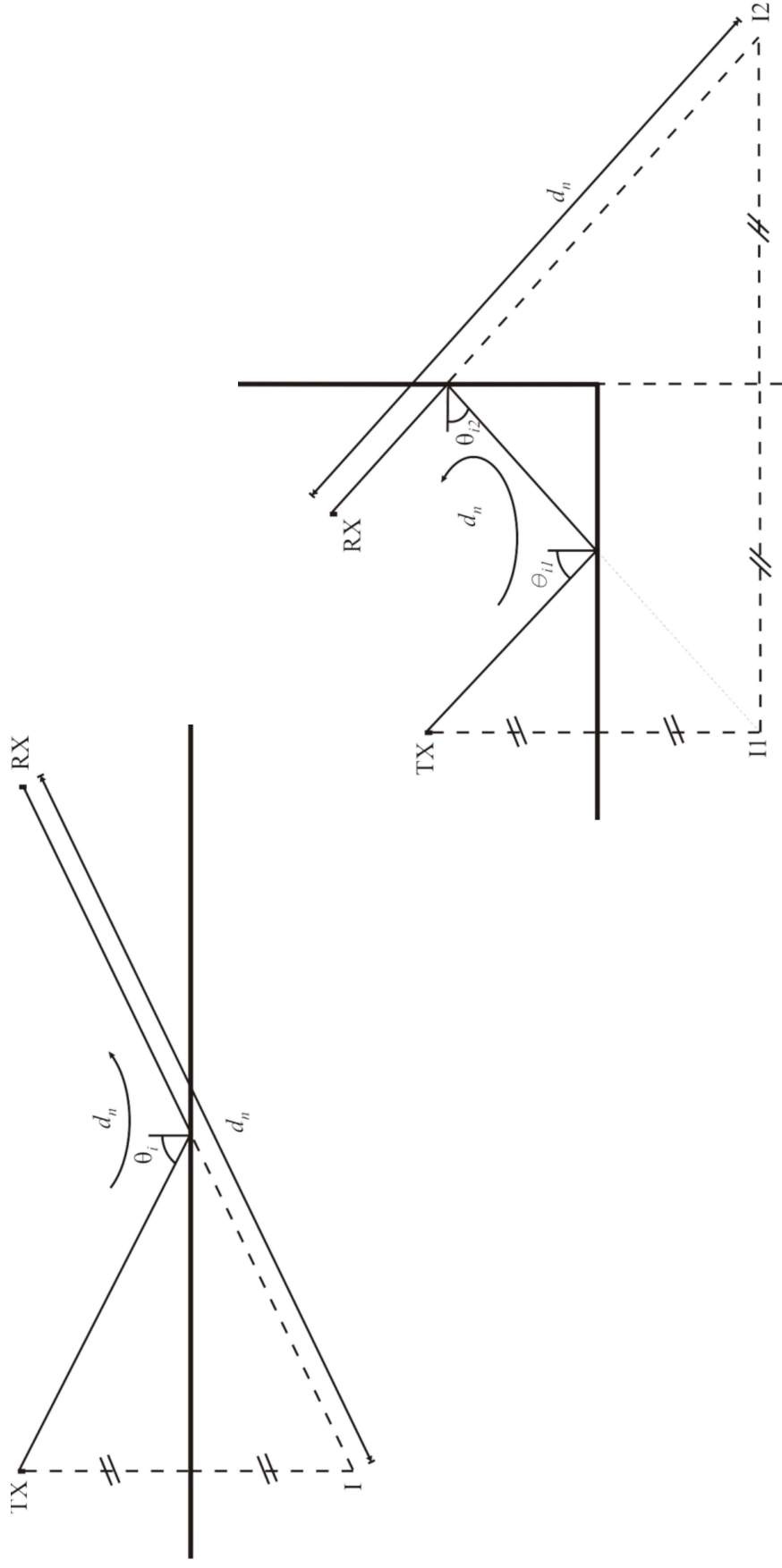
$$\underline{E}_n = \underbrace{\Gamma_1 \Gamma_2 \dots}_{\text{Réflexions}} \underbrace{T_1 T_2 \dots}_{\text{Transmissions}} E_0(\theta_{TXn}, \phi_{TXn}) \frac{e^{-j\beta d_n}}{d_n}$$

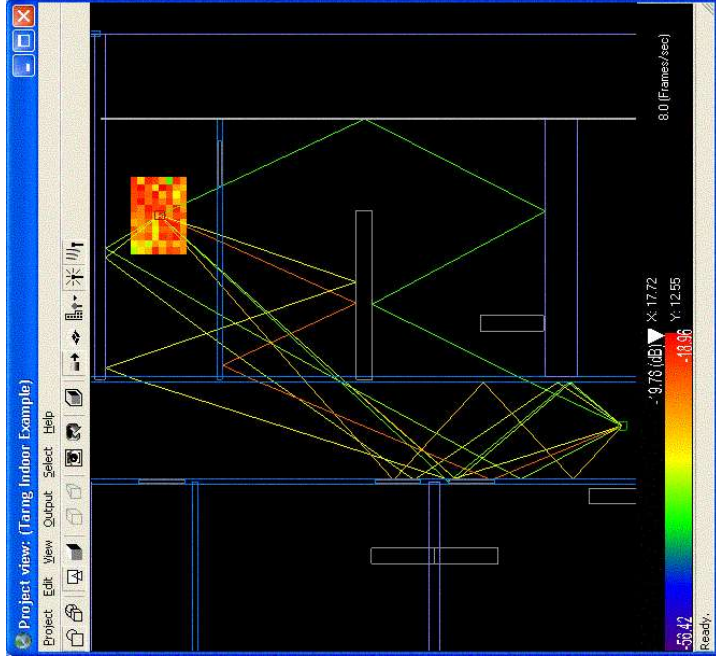
où d_n est la distance totale parcourue et

$$E_0(\theta_{TXn}, \phi_{TXn}) = -j\omega I_a \frac{\mu_0}{4\pi} h_{e\perp}^{TX}(\theta_{TXn}, \phi_{TXn})$$

Comment calculer la trajectoire des composantes multi-trajets ?

Méthode des images





$$V_{oc}(\vec{r}) = - \sum_{n=1}^N \vec{h}_e^{RX}(\theta_n, \phi_n) \cdot \vec{E}_n(\vec{r})$$

$$\rightarrow P_{RX} = \frac{1}{8R_a} \left| \sum_{n=1}^N \vec{h}_e^{RX}(\theta_n, \phi_n) \cdot \vec{E}_n(\vec{r}) \right|^2$$

En moyenne, dans une **zone locale**

$$\langle P_{RX} \rangle = \frac{1}{8R_a} \sum_{n=1}^N \left| \vec{h}_e^{RX}(\theta_n, \phi_n) \cdot \vec{E}_n(\vec{r}) \right|^2$$